Elettromagnetismo

Prof. Francesco Ragusa Università degli Studi di Milano

Lezione n. 37 - 18.05.2023

Potenziali elettrodinamici Invarianza di gauge Equazione dell'onda per i potenziali Potenziali ritardati Radiazione del dipolo elettrico

Anno Accademico 2022/2023

Potenziale scalare e potenziale vettore

- Ricordiamo le relazioni fra campi e potenziali nel caso di campi variabili nel tempo (vedi diapositiva 241)
 - Vogliamo adesso scrivere l'equazione dell'onda per i potenziali
- Richiamiamo come avevamo introdotto le relazioni fra campi e potenziali
 - Ricordiamo le equazioni di Maxwell nel vuoto

$$\mathbf{\nabla} \cdot \mathbf{E} = \frac{\rho}{\varepsilon_0}$$
 $\mathbf{\nabla} \cdot \mathbf{B} = 0$ $\mathbf{\nabla} \times \mathbf{E} = -\frac{\partial \mathbf{B}}{\partial t}$ $\mathbf{\nabla} \times \mathbf{B} = \mu_0 \mathbf{J} + \frac{1}{c^2} \frac{\partial \mathbf{E}}{\partial t}$

- La divergenza del campo magnetico è nulla anche in elettrodinamica
 - ullet E pertanto possibile introdurre il potenziale vettore anche in elettrodinamica ${f B} = {f
 abla} {f x} {f A}$

• Introduciamo questa relazione nella legge di Faraday

$$\nabla \times \mathbf{E} = -\frac{\partial \left(\nabla \times \mathbf{A}\right)}{\partial t} = -\nabla \times \frac{\partial \mathbf{A}}{\partial t} \longrightarrow \nabla \times \left(\mathbf{E} + \frac{\partial \mathbf{A}}{\partial t}\right) = 0$$

- Abbiamo pertanto trovato una combinazione di campi a rotore nullo
 - E il gradiente di un campo scalare

$$\mathbf{E} + \frac{\partial \mathbf{A}}{\partial t} = -\nabla \phi \qquad \qquad \mathbf{E} = -\nabla \phi - \frac{\partial \mathbf{A}}{\partial t}$$

Equazioni per i potenziali

$$\mathbf{E} = -\mathbf{\nabla}\phi - \frac{\partial\mathbf{A}}{\partial t} \qquad \mathbf{B} = \mathbf{\nabla} \times \mathbf{A}$$

• I campi soddisfano automaticamente le equazioni di Maxwell omogenee

$$\mathbf{\nabla} \cdot \mathbf{B} = 0 \qquad \mathbf{\nabla} \times \mathbf{E} = -\frac{\partial \mathbf{B}}{\partial t}$$

- Adesso utilizziamo le altre due equazioni di Maxwell (con le sorgenti) per trovare le equazioni differenziali a cui obbediscono i campi ${f A}$ e ϕ
- La legge di Gauss

$${f
abla} \cdot {f E} = rac{
ho}{arepsilon_0}$$



$$\mathbf{\nabla} \cdot \mathbf{E} = \frac{\rho}{\varepsilon_0} \qquad \qquad -\mathbf{\nabla}^2 \phi - \frac{\partial \mathbf{\nabla} \cdot \mathbf{A}}{\partial t} = \frac{\rho}{\varepsilon_0}$$

- ullet un'equazione in cui i campi ${f A}$ e ϕ sono accoppiati
- La legge di Ampère (il rotore di B)

$$\mathbf{\nabla} \times \mathbf{B} = \mu_0 \mathbf{J} + \frac{1}{c^2} \frac{\partial \mathbf{E}}{\partial t}$$
 $\mathbf{\nabla} \times \mathbf{\nabla} \times \mathbf{A} = \mu_0 \mathbf{J} - \frac{1}{c^2} \frac{\partial \mathbf{\nabla} \phi}{\partial t} - \frac{1}{c^2} \frac{\partial^2 \mathbf{A}}{\partial t^2}$

• Ricordiamo la relazione (diapositiva 82) $\nabla \times (\nabla \times \mathbf{A}) = \nabla (\nabla \cdot \mathbf{A}) - \nabla^2 \mathbf{A}$

$$\nabla (\nabla \cdot \mathbf{A}) - \nabla^2 \mathbf{A} = \mu_0 \mathbf{J} - \frac{1}{c^2} \frac{\partial \nabla \phi}{\partial t} - \frac{1}{c^2} \frac{\partial^2 \mathbf{A}}{\partial t^2}$$

Equazioni per i potenziali

$$\nabla (\nabla \cdot \mathbf{A}) - \nabla^2 \mathbf{A} = \mu_0 \mathbf{J} - \frac{1}{c^2} \frac{\partial \nabla \phi}{\partial t} - \frac{1}{c^2} \frac{\partial^2 \mathbf{A}}{\partial t^2}$$

Elaboriamo

$$\frac{1}{c^2} \frac{\partial^2 \mathbf{A}}{\partial t^2} - \mathbf{\nabla}^2 \mathbf{A} = \mu_0 \mathbf{J} - \frac{1}{c^2} \mathbf{\nabla} \frac{\partial \phi}{\partial t} - \mathbf{\nabla} (\mathbf{\nabla} \cdot \mathbf{A})$$

$$\left| \boldsymbol{\nabla}^2 \mathbf{A} - \frac{1}{c^2} \frac{\partial^2 \mathbf{A}}{\partial t^2} - \boldsymbol{\nabla} \left(\frac{1}{c^2} \frac{\partial \phi}{\partial t} + \boldsymbol{\nabla} \cdot \mathbf{A} \right) = -\mu_0 \mathbf{J} \right| \quad \left| \boldsymbol{\nabla}^2 \phi + \frac{\partial \boldsymbol{\nabla} \cdot \mathbf{A}}{\partial t} = -\frac{\rho}{\varepsilon_0} \right|$$

$$\nabla^2 \phi + \frac{\partial \nabla \cdot \mathbf{A}}{\partial t} = -\frac{\rho}{\varepsilon_0}$$

- Abbiamo pertanto un sistema di equazioni differenziali accoppiate
 - Il problema può essere semplificato utilizzando la non unicità dei potenziali
- Abbiamo già notato che in elettrostatica e in magnetostatica i potenziali non sono definiti univocamente
 - Il potenziale scalare è definito a meno di una costante
 - Il potenziale vettore è definito a meno del gradiente di un campo scalare
- In elettrodinamica le due non univocità devono essere trattate insieme

- Ricaviamo pertanto le condizioni di invarianza in elettrodinamica
 - Consideriamo una trasformazione (arbitraria) dei potenziali $\phi'(\mathbf{r},t) = \phi(\mathbf{r},t) + \beta(\mathbf{r},t) \qquad \mathbf{A}'(\mathbf{r},t) = \mathbf{A}(\mathbf{r},t) + \mathbf{\alpha}(\mathbf{r},t)$
 - Cerchiamo le condizioni su α e β in modo che il campo elettrico e il campo magnetico derivati dai potenziali non cambino
 - Per il potenziale vettore è sufficiente che

$$oldsymbol{
abla} imes oldsymbol{lpha} = oldsymbol{0} \lambda \qquad \qquad \lambda \left(x,y,z,t \,
ight) \quad \lambda$$
 funzione arbitraria

• Calcoliamo il campo elettrico prima e dopo la trasformazione

$$\mathbf{E} = -\nabla \phi - \frac{\partial \mathbf{A}}{\partial t} \qquad \mathbf{E}' = -\nabla \phi' - \frac{\partial \mathbf{A}'}{\partial t} = -\nabla \phi - \nabla \beta - \frac{\partial \mathbf{A}}{\partial t} - \frac{\partial \mathbf{A}}{\partial t}$$

ullet Perché il campo non vari ($\mathbf{E}=\mathbf{E}'$) deve essere

$$\boldsymbol{\nabla}\beta + \frac{\partial \boldsymbol{\alpha}}{\partial t} = 0 \quad \text{e anche} \quad \boldsymbol{\nabla}\beta + \frac{\partial \boldsymbol{\nabla}\lambda}{\partial t} = 0 \qquad \quad \boldsymbol{\nabla}\bigg(\beta + \frac{\partial \lambda}{\partial t}\bigg) = 0$$

- Pertanto l'argomento del gradiente deve essere una funzione indipendente dalla posizione
 - In particolare possiamo scegliere

$$\beta + \frac{\partial \lambda}{\partial t} = 0 \qquad \beta = -\frac{\partial \lambda}{\partial t}$$

ullet Pertanto, per ogni funzione arbitraria $\lambda(x,\,y,\,z,\,t)$ la seguente trasformazione sui potenziali lascia invariati i campi elettrico e magnetico

$$\phi o \phi - \frac{\partial \lambda}{\partial t} \qquad \mathbf{A} o \mathbf{A} + \mathbf{\nabla} \lambda$$

- La trasformazione precedente prende il nome di trasformazione di gauge
- L'invarianza di gauge dei potenziali può essere utilizzata per semplificare le equazioni differenziali dei potenziali disaccoppiando le equazioni
 - Ricordiamo due dei gauge più utilizzati
 - Il gauge di Coulomb

$$\nabla \cdot \mathbf{A} = 0$$

- Il gauge di Coulomb è utile per mettere in evidenza la natura trasversale dell'onda elettromagnetica
- ullet Semplifica le equazioni disaccoppiandole nel caso di ho=0
- Ha lo svantaggio di non essere relativisticamente invariante
- Il gauge di Lorenz

$$\frac{1}{c^2} \frac{\partial \phi}{\partial t} + \mathbf{\nabla} \cdot \mathbf{A} = 0$$

- Il gauge di Lorenz è relativisticamente invariante
- Disaccoppia le due equazioni

- Dimostriamo che con una trasformazione di gauge possiamo sempre ottenere dei potenziali che soddisfano le due condizioni di gauge introdotte
 - Gauge di Coulomb
 - ullet Supponiamo che $abla{\cdot}{
 m A}$ non sia nulla e che sia invece $abla{\cdot}{
 m A}=f({
 m r})$
 - ullet Troviamo una $\lambda({f r})$ (indipendente da t) che renda nulla $abla \cdot {f A}'$

$$\mathbf{A}' = \mathbf{A} + \mathbf{\nabla} \lambda (\mathbf{r})$$
 $\mathbf{\nabla} \cdot \mathbf{A}' = \mathbf{\nabla} \cdot \mathbf{A} + \mathbf{\nabla}^2 \lambda (\mathbf{r}) = f(\mathbf{r}) + \mathbf{\nabla}^2 \lambda (\mathbf{r}) = 0$

ullet Otteniamo l'equazione che determina $\lambda({f r})$ (equazione di Poisson)

$$\mathbf{\nabla}^2 \lambda \left(\mathbf{r} \right) = -f \left(\mathbf{r} \right)$$
 $\lambda \left(\mathbf{r} \right) = \frac{1}{4\pi} \int_V \frac{f \left(\mathbf{r}' \right)}{\left| \mathbf{r} - \mathbf{r}' \right|} dV'$

- ullet Ovviamente questa trasformazione non modifica né ϕ né ${
 m E}$
- Gauge di Lorenz
 - Analogamente al caso precedente troviamo l'equazione per λ nell'ipotesi che $1 \ \partial \phi + \nabla \cdot \mathbf{A} = f(\mathbf{r}, t)$

$$rac{1}{c^2}rac{\partial\phi}{\partial t} + oldsymbol{
abla}\cdot \mathbf{A} = fig(\mathbf{r},tig)$$

• La trasformazione di gauge è

$$\phi' = \phi - \partial \lambda(\mathbf{r}, t) / \partial t$$
 $\mathbf{A}' = \mathbf{A} + \nabla \lambda(\mathbf{r}, t)$

• I nuovi potenziali devono soddisfare il gauge di Lorenz

$$0 = \frac{1}{c^2} \frac{\partial \phi'}{\partial t} + \mathbf{\nabla} \cdot \mathbf{A}' = \frac{1}{c^2} \frac{\partial \phi}{\partial t} - \frac{1}{c^2} \frac{\partial^2 \lambda}{\partial t^2} + \mathbf{\nabla} \cdot \mathbf{A} + \mathbf{\nabla}^2 \lambda$$

ullet Abbiamo assunto che i potenziali ${f A}$ e ϕ non soddisfino il gauge di Lorenz

$$\frac{1}{c^2} \frac{\partial \phi}{\partial t} + \mathbf{\nabla} \cdot \mathbf{A} = f(\mathbf{r}, t)$$

• Pertanto l'equazione diventa

$$f(\mathbf{r},t) - \frac{1}{c^2} \frac{\partial^2 \lambda}{\partial t^2} + \nabla^2 \lambda = 0$$

$$\mathbf{\nabla}^2 \lambda - \frac{1}{c^2} \frac{\partial^2 \lambda}{\partial t^2} = -f(\mathbf{r}, t)$$

- Analogamente all'equazione di Poisson anche questa equazione ha una soluzione
 - La studieremo fra breve (vedi diapositiva 451)
- Per il momento è sufficiente sapere che la soluzione esiste e che pertanto è sempre possibile assumere che i potenziali soddisfino il gauge di Lorenz

Esempio

• Un campo elettromagnetico, in un certo Gauge, ha i seguenti potenziali

$$\phi'(\mathbf{r},t) = 0$$
 $\mathbf{A}'(\mathbf{r},t) = -\frac{qt}{4\pi\varepsilon_0} \frac{\hat{\mathbf{r}}}{r^2}$

ullet Calcoliamo il campo elettrico ${f E}({f r},t)$ e il campo di induzione magnetica ${f B}({f r},t)$

$$\mathbf{E} = -\mathbf{\nabla}\phi' - \frac{\partial\mathbf{A}'}{\partial t} = \mathbf{0} - \frac{\partial}{\partial t} \frac{-qt}{4\pi\varepsilon_0} \frac{\hat{\mathbf{r}}}{r^2} = \frac{q}{4\pi\varepsilon_0} \frac{\hat{\mathbf{r}}}{r^2} \qquad \mathbf{B} = \mathbf{\nabla} \times \left[-\frac{qt}{4\pi\varepsilon_0} \frac{\hat{\mathbf{r}}}{r^2} \right] = \mathbf{0}$$

- ullet il campo di una carica puntiforme a riposo nonostante $oldsymbol{\phi}=0$ e $\mathbf{A}
 eq \mathbf{0}$
- Naturalmente per il campo elettrostatico di una carica puntiforme conviene

$$\phi(\mathbf{r},t) = \frac{q}{4\pi\varepsilon_0} \frac{1}{r}$$
 $\mathbf{A}(\mathbf{r},t) = \mathbf{0}$

ullet Cerchiamo una trasformazione di ulletauge per passare da ϕ A a ϕ' A'

$$\phi' = \phi - \frac{\partial \lambda}{\partial t} \longrightarrow 0 = \frac{q}{4\pi\varepsilon_0 r} - \frac{\partial \lambda}{\partial t} \qquad \lambda(\mathbf{r}, t) = \int \frac{q}{4\pi\varepsilon_0 r} dt + f(\mathbf{r}) = \frac{qt}{4\pi\varepsilon_0 r} + f(\mathbf{r})$$

$$\mathbf{A}' = \mathbf{A} + \boldsymbol{\nabla}\lambda \longrightarrow -\frac{qt}{4\pi\varepsilon_0}\frac{\hat{\mathbf{r}}}{r^2} = \mathbf{0} + \boldsymbol{\nabla}\bigg[\frac{qt}{4\pi\varepsilon_0}\frac{1}{r} + f(\mathbf{r})\bigg]$$

$$\stackrel{\mathbf{\dot{e}}}{=} \text{ sufficiente}$$

$$-\frac{qt}{4\pi\varepsilon_0}\frac{\hat{\mathbf{r}}}{r^2} = -\frac{qt}{4\pi\varepsilon_0}\frac{\hat{\mathbf{r}}}{r^2} + \boldsymbol{\nabla}f(\mathbf{r}) \longrightarrow \boldsymbol{\nabla}f(\mathbf{r}) = 0 \qquad f(\mathbf{r}) = 0 \qquad \lambda(\mathbf{r},t) = \frac{qt}{4\pi\varepsilon_0r}$$

Esempio

 \bullet Alternativamente possiamo utilizzare la procedura della diapositiva $\underline{445}$ per rendere nulla la divergenza di A^\prime

$$\lambda(\mathbf{r}) = \frac{1}{4\pi} \int_{V} \frac{f(\mathbf{r}')}{|\mathbf{r} - \mathbf{r}'|} dV'$$

• Calcoliamo la funzione $f(\mathbf{r})$

$$f(\mathbf{r}) = \mathbf{\nabla} \cdot \mathbf{A}'(\mathbf{r}, t) = -\frac{qt}{4\pi\varepsilon_0} \mathbf{\nabla} \cdot \frac{\hat{\mathbf{r}}}{r^2} = -\frac{qt}{4\pi\varepsilon_0} 4\pi\delta^3(\mathbf{r}) = -\frac{qt}{\varepsilon_0} \delta^3(\mathbf{r}) = f(\mathbf{r})$$

• Calcoliamo $\lambda(\mathbf{r})$

$$\lambda(\mathbf{r}) = \frac{1}{4\pi} \int_{V} \frac{f(\mathbf{r}')}{|\mathbf{r} - \mathbf{r}'|} dV' = \frac{1}{4\pi} \int_{V} -\frac{qt}{\varepsilon_{0}} \frac{\delta(\mathbf{r}')}{|\mathbf{r} - \mathbf{r}'|} dV' = -\frac{1}{4\pi} \frac{qt}{\varepsilon_{0}} \frac{1}{|\mathbf{r}|} = -\frac{qt}{4\pi\varepsilon_{0}} \frac{1}{r}$$

• Trasformiamo i potenziali

$$\phi(\mathbf{r},t) = \phi' - \frac{\partial \lambda}{\partial t} = 0 - \frac{\partial}{\partial t} \left(-\frac{qt}{4\pi\varepsilon_0} \frac{1}{r} \right) = \frac{q}{4\pi\varepsilon_0} \frac{1}{r}$$

$$\mathbf{A}(\mathbf{r},t) = \mathbf{A}'(\mathbf{r},t) + \nabla \lambda(\mathbf{r},t) = -\frac{qt}{4\pi\varepsilon_0} \frac{\hat{\mathbf{r}}}{r^2} + \nabla \left(-\frac{qt}{4\pi\varepsilon_0} \frac{1}{r} \right)$$

$$\mathbf{A}(\mathbf{r},t) = -\frac{qt}{4\pi\varepsilon_0} \frac{\hat{\mathbf{r}}}{r^2} + \frac{qt}{4\pi\varepsilon_0} \frac{\hat{\mathbf{r}}}{r^2} = 0$$

Equazioni per i potenziali

- ullet In pratica non $\dot{f e}$ quasi mai necessario calcolare la funzione $\lambda(x,y,z,t)$
 - Sapendo che è possibile trovarle si può assumere che la condizione di Lorenz o di Coulomb sia rispettata e si risolvono le equazioni dei potenziali
- Vediamo l'espressione delle equazioni dei potenziali nel gauge di Lorenz

$$\mathbf{\nabla}^2 \phi + \frac{\partial \mathbf{\nabla} \cdot \mathbf{A}}{\partial t} = -\frac{\rho}{\varepsilon_0}$$

ullet Poiché \mathbf{A} e ϕ soddisfano il gauge di Lorenz

$$\mathbf{\nabla} \cdot \mathbf{A} = -\frac{1}{c^2} \frac{\partial \phi}{\partial t}$$

ullet Sostituendo nell'equazione di ϕ

$$\mathbf{\nabla}^2 \phi - \frac{1}{c^2} \frac{\partial^2 \phi}{\partial t^2} = -\frac{\rho}{\varepsilon_0}$$

Equazione dell'onda non omogenea

Equazioni per i potenziali

Consideriamo adesso l'equazione per il potenziale vettore

$$\mathbf{\nabla}^{2}\mathbf{A} - \frac{1}{c^{2}}\frac{\partial^{2}\mathbf{A}}{\partial t^{2}} - \mathbf{\nabla}\left(\frac{1}{c^{2}}\frac{\partial\phi}{\partial t}\right) \mathbf{\nabla}\cdot\mathbf{A} = -\mu_{0}\mathbf{J}$$

ullet Poiché ${f A}$ e ϕ soddisfano il gauge di Lorenz

$$\left| \mathbf{\nabla}^2 \mathbf{A} - \frac{1}{c^2} \frac{\partial^2 \mathbf{A}}{\partial t^2} = -\mu_0 \mathbf{J} \right| \qquad \left| \mathbf{\nabla}^2 \phi - \frac{1}{c^2} \frac{\partial^2 \phi}{\partial t^2} = -\frac{\rho}{\varepsilon_0} \right|$$

$$\nabla^2 \phi - \frac{1}{c^2} \frac{\partial^2 \phi}{\partial t^2} = -\frac{\rho}{\varepsilon_0}$$

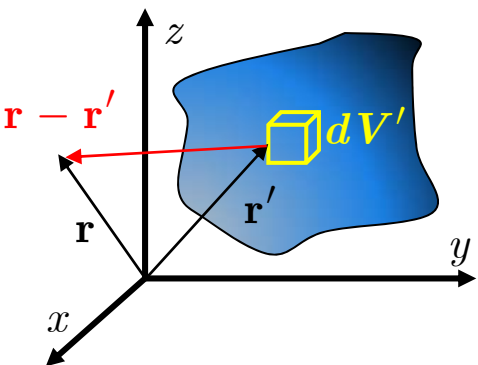
- Anche il potenziale vettore soddisfa l'equazione dell'onda inomogenea
- Nel caso statico ritroviamo le equazioni dell'elettrostatica e della magnetostatica

$$\mathbf{
abla}^2\mathbf{A}=-\mu_0\mathbf{J}$$
 $\mathbf{
abla}^2\phi=-rac{
ho}{arepsilon}$

- ullet Nei casi statico e stazionario conosciamo le soluzioni
 - Richiedendo che i campi si annullino all'infinito ...

$$\phi(\mathbf{r}) = \frac{1}{4\pi\varepsilon_0} \int_{V} \frac{\rho(\mathbf{r}')}{|\mathbf{r} - \mathbf{r}'|} dV'$$

$$\mathbf{A}(\mathbf{r}) = \frac{\mu_0}{4\pi} \int_{V} \frac{\mathbf{J}(\mathbf{r}')}{|\mathbf{r} - \mathbf{r}'|} dV'$$



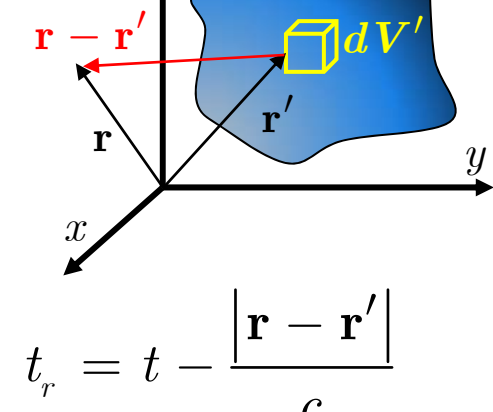
Potenziali ritardati

- Nel caso dipendente dal tempo la soluzione è, almeno formalmente, molto semplice
 - ullet Le cariche contenute nel volume dV' sono in movimento

$$\rho\left(\mathbf{r}',t\right)$$
 $\mathbf{J}\left(\mathbf{r}',t\right)$







• Si può dimostrare (forse lo faremo) che le soluzioni sono

$$\phi(\mathbf{r},t) = \frac{1}{4\pi\varepsilon_0} \int_V \frac{\rho(\mathbf{r}',t_r)}{|\mathbf{r}-\mathbf{r}'|} dV' \qquad \mathbf{A}(\mathbf{r},t) = \frac{\mu_0}{4\pi} \int_V \frac{\mathbf{J}(\mathbf{r}',t_r)}{|\mathbf{r}-\mathbf{r}'|} dV'$$

- ullet Durante l'integrazione la variabile ausiliaria t_r varia con $\mathbf{r'}$
 - Un utile esercizio (non banale) è verificare che queste soluzioni soddisfino l'equazione inomogenea della diapositiva precedente
 - In tal caso occorre ricordarsi che i potenziali dipendono da r
 - ullet In modo esplicito attraverso $|{f r}-{f r}'|$
 - ullet In modo implicito attraverso $t_r=t-|{f r}-{f r}'|/{f c}$

Potenziali ritardati

- Nonostante queste soluzioni siano "intuitive" la loro semplicità (apparente) va considerata in qualche modo fortuita
 - Ad esempio le stesse formule intuitive non valgono per E e B

$$\mathbf{E}(\mathbf{r},t) \neq \frac{1}{4\pi\varepsilon_0} \int_{V} \frac{\rho(\mathbf{r}',t_r)(\mathbf{r}-\mathbf{r}')}{\left|\mathbf{r}-\mathbf{r}'\right|^3} dV' \qquad \mathbf{B}(\mathbf{r},t) \neq \frac{1}{4\pi\varepsilon_0} \int_{V} \frac{\mathbf{J}(\mathbf{r}',t_r) \times (\mathbf{r}-\mathbf{r}')}{\left|\mathbf{r}-\mathbf{r}'\right|^3} dV'$$

- ullet Le formule corrette si possono ricavare da ϕ e ${f A}$
 - Il calcolo tuttavia è un po' laborioso. Diamo il risultato (v. Griffiths)

$$\mathbf{E}(\mathbf{r},t) = \frac{1}{4\pi\varepsilon_0} \int_{V} \left[\frac{\rho(\mathbf{r}',t_r)(\mathbf{r}-\mathbf{r}')}{|\mathbf{r}-\mathbf{r}'|^3} + \frac{\dot{\rho}(\mathbf{r}',t_r)(\mathbf{r}-\mathbf{r}')}{c|\mathbf{r}-\mathbf{r}'|^2} - \frac{\dot{\mathbf{J}}(\mathbf{r}',t_r)}{c^2|\mathbf{r}-\mathbf{r}'|} \right] dV'$$

$$\mathbf{B}(\mathbf{r},t) = \frac{\mu_0}{4\pi} \int_{V} \left[\frac{\mathbf{J}(\mathbf{r}',t_r)}{|\mathbf{r}-\mathbf{r}'|^3} + \frac{\dot{\mathbf{J}}(\mathbf{r}',t_r)}{c|\mathbf{r}-\mathbf{r}'|^2} \right] \times (\mathbf{r}-\mathbf{r}') dV'$$

- ullet Ovviamente per r e J indipendenti dal tempo ritroviamo le formule dell'elettrostatica e della magnetostatica
- † Vedi anche A. Zangwill Modern electrodynamics CUP 2012 applicazione 20.2p. 726

Approssimazione quasi-statica per B

• Esaminiamo la formula che abbiamo appena scritto per B

$$\mathbf{B}(\mathbf{r},t) = \frac{\mu_0}{4\pi} \int_{V}^{\infty} \left[\frac{\mathbf{J}(\mathbf{r}',t_r)}{\left|\mathbf{r} - \mathbf{r}'\right|^3} + \frac{\dot{\mathbf{J}}(\mathbf{r}',t_r)}{c\left|\mathbf{r} - \mathbf{r}'\right|^2} \right] \times (\mathbf{r} - \mathbf{r}') dV' \qquad t_r = t - \frac{\left|\mathbf{r} - \mathbf{r}'\right|}{c}$$

ullet Semplifichiamo la notazione ponendo ${f u}={f r}-{f r}'$

$$\mathbf{B}\!\left(\mathbf{r},t\right) = \frac{\mu_0}{4\pi} \int_{V}^{\mathbf{r}} \!\!\left[\frac{\mathbf{J}\!\left(\mathbf{r}',t_r\right)}{u^2} + \frac{\dot{\mathbf{J}}\!\left(\mathbf{r}',t_r\right)}{cu} \right] \! \times \hat{\mathbf{u}} dV' \qquad \qquad t_r - t = -\frac{u}{c}$$

- ullet Consideriamo una densità di corrente ${f J}({f r},t)$ le cui variazioni temporali abbiano una scala di tempi fissata da un parametro au

 - Si può dimostrare (v. diapositive swguenti) che per $|t-t_r|\ll au$ $\frac{J({f r},t)}{J({f r},t)}|$ $J({f r},t) \approx J({f r},t)$

$$\mathbf{J}(\mathbf{r},t_r) pprox \mathbf{J}(\mathbf{r},t) + \dot{\mathbf{J}}(\mathbf{r},t)(t_r-t) \qquad \dot{\mathbf{J}}(\mathbf{r},t_r) pprox \dot{\mathbf{J}}(\mathbf{r},t)$$

Sostituendo

$$\mathbf{B}(\mathbf{r},t) = \frac{\mu_0}{4\pi} \int_{V}^{\bullet} \left[\frac{\mathbf{J}(\mathbf{r}',t) - \dot{\mathbf{J}}(\mathbf{r}',t)(t-t_r)}{u^2} + \frac{\dot{\mathbf{J}}(\mathbf{r}',t)}{cu} \right] \times \hat{\mathbf{u}} dV'$$



$$=\frac{\mu_0}{4\pi}\int_{V}\left[\frac{\mathbf{J}(t)}{u^2}-\frac{\dot{\mathbf{J}}(t)(t-t_r)}{uc(t-t_r)}+\frac{\dot{\mathbf{J}}(t)}{cu}\right]\times\hat{\mathbf{u}}dV'$$

$$\mathbf{B}(\mathbf{r},t)=\frac{\mu_0}{4\pi}\int_{V}\frac{\mathbf{J}(\mathbf{r}',t)}{u^2}\times\hat{\mathbf{u}}dV'$$

$$\mathbf{B}(\mathbf{r},t) = \frac{\mu_0}{4\pi} \int_{V} \frac{\mathbf{J}(\mathbf{r}',t)}{u^2} \times \hat{\mathbf{u}} dV'$$

Approssimazione quasi-statica per B

$$ullet$$
 Ricordiamo $\mathbf{u}=\mathbf{r}-\mathbf{r}'$ $t_r-t=-rac{u}{c}$ $\left|t_r-t
ight|\ll au$ $au\sim\left|rac{J(t)}{\dot{J}(t)}
ight|$

• Sviluppiamo al primo ordine la densità di corrente

$$\mathbf{J}(t_r) \approx \mathbf{J}(t) + \dot{\mathbf{J}}(t)(t_r - t)$$

- ullet Dimostriamo che nelle condizioni dell'approssimazione $\dot{\mathbf{J}}(\mathbf{r},t_r)pprox\dot{\mathbf{J}}(\mathbf{r},t)$
 - Sviluppiamo $\dot{\mathbf{J}}(t_n)$ intorno a t

$$\dot{\mathbf{J}}(t_r) \approx \dot{\mathbf{J}}(t) + \ddot{\mathbf{J}}(t)(t_r - t)$$

ullet Dato che l'ordine di grandezza del tempo di variazione di ${f J}(t)$ è au abbiamo

$$\dot{\mathbf{J}}(t_r) \approx \dot{\mathbf{J}}(t) + \ddot{\mathbf{J}}(t)(t_r - t) \approx \dot{\mathbf{J}}(t) + \frac{\mathbf{J}(t)}{\tau}(t_r - t)$$
 $\frac{|t - t_r|}{\tau} \ll 1$

$$\dot{\mathbf{J}}ig(t_rig)pprox\dot{\mathbf{J}}ig(tig)$$

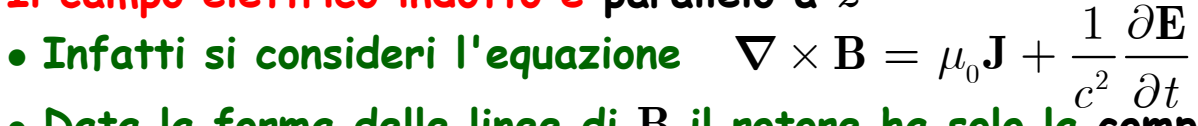
• La legge di Biot-Savart è pertanto una ottima approssimazione per

$$t-t_{_{r}}\ll\tau\quad \text{Inoltre dalla definizione}\quad t_{_{r}}=t-\frac{\left|\mathbf{r}-\mathbf{r}'\right|}{c}\quad \Longrightarrow\quad \left|\mathbf{r}-\mathbf{r}'\right|\ll c\tau$$

Approssimazione quasi-statica

 $\mathbf{B} = \frac{\mu_0}{2\pi m} i(t) \hat{\mathbf{e}}_{\phi}$

- Vediamo un'applicazione di questi concetti (Griffiths esempio 7.9)
 - ullet Un filo infinitamente lungo parallelo all'asse z, percorso da una corrente i(t)
 - ullet Calcolare il campo elettrico indotto in funzione della distanza r dal filo
 - Il problema ha una simmetria cilindrica
 - Le linee del campo B sono circonferenze
 - ullet I campi non dipendono da ϕ o z
 - ullet Il campo elettrico indotto è parallelo a z





- ullet Anche la densità di corrente è lungo z
- ullet Segue che il campo ${f E}$ è diretto lungo z



$$\oint_{\Gamma} \mathbf{E} \cdot d\mathbf{l} = -\frac{d}{dt} \int_{S} \mathbf{B} \cdot d\mathbf{a} \int_{S} \mathbf{B} \cdot d\mathbf{a} = \frac{\mu_{0}}{2\pi} i(t) l \int_{r_{0}}^{r} \frac{dr}{r} = \frac{\mu_{0}}{2\pi} i(t) l \ln \frac{r}{r_{0}}$$

$$\oint_{\Gamma} \mathbf{E} \cdot d\mathbf{l} = E(r_{0}) l - E(r) l \quad \mathbf{E} = \left[\frac{\mu_{0}}{2\pi} \frac{di}{dt} \ln \frac{r}{r_{0}} + E(r_{0}) \right] \hat{\mathbf{e}}_{z}$$

- ullet La formula predice che ${
 m E}$ diverge per $r o\infty$
 - ullet L'approssimazione quasi-statica usata vale solo per $\left| {{f r} {f r}'}
 ight| \ll c au$

Onda piana nel gauge di Coulomb

**

- Vogliamo adesso una prima soluzione delle equazioni dei potenziali
 - Nel gauge di Coulomb: $\nabla \cdot \mathbf{A} = 0$
 - Nel caso in cui le sorgenti siano nulle
- Ricordiamo le equazioni dei potenziali (vedi diapositiva 421)

$$\mathbf{\nabla}^2 \phi + \frac{\partial \mathbf{\nabla} \cdot \mathbf{A}}{\partial t} = -\frac{\rho}{\varepsilon_0} \qquad \mathbf{\nabla}^2 \mathbf{A} - \frac{1}{c^2} \frac{\partial^2 \mathbf{A}}{\partial t^2} - \mathbf{\nabla} \left(\frac{1}{c^2} \frac{\partial \phi}{\partial t} + \mathbf{\nabla} \cdot \mathbf{A} \right) = -\mu_0 \mathbf{J}$$

• Consideriamo la prima equazione e imponiamo il gauge di Coulomb

$$\mathbf{\nabla}^2 \phi + \frac{\partial \mathbf{\nabla} \cdot \mathbf{A}}{\partial t} = -\frac{\rho}{\varepsilon_0}$$
 $\mathbf{\nabla}^2 \phi = -\frac{\rho}{\varepsilon_0}$

- ullet l'equazione di Poisson. Tuttavia in generale ho è funzione del tempo
- \bullet La soluzione è $\phi\left(\mathbf{r},t\right)=\frac{1}{4\pi\varepsilon_{0}}\int_{V}\frac{\rho\left(\mathbf{r}',t\right)}{\left|\mathbf{r}-\mathbf{r}'\right|}dV'$
 - ullet Sottolineiamo che la densità è calcolata al tempo t_r non al tempo t_r
 - Sembrerebbe un paradosso ma non lo è
 - ullet Il campo elettrico non dipende solo da ϕ , ma anche da A
 - ullet I contributi di ϕ e A introducono la dipendenza dal tempo ritardato

$$\phi(\mathbf{r},t) = \frac{1}{4\pi\varepsilon_0} \int_{V} \frac{\rho(\mathbf{r}',t)}{|\mathbf{r} - \mathbf{r}'|} dV'$$

- Vogliamo studiare la propagazione nel vuoto, in assenza di sorgenti
 - Se ho=0 allora $\phi=0$
- Consideriamo adesso l'equazione per il potenziale vettore

$$\mathbf{
abla}^2\mathbf{A} - rac{1}{c^2}rac{\partial^2\mathbf{A}}{\partial t^2} - \mathbf{
abla}iggl(rac{1}{c^2}rac{\partial\phi}{\partial t} + \mathbf{
abla}\cdot\mathbf{A}iggr) = -\mu_0\mathbf{J}$$

ullet Poiché $\phi=0$, $abla {f \cdot} {f A}=0$, ${f J}({f r},{f t})=0$ abbiamo

$$\mathbf{\nabla}^2 \mathbf{A} = rac{1}{c^2} rac{\partial^2 \mathbf{A}}{\partial t^2}$$

Equazione dell'onda omogenea

- Abbiamo studiato le soluzione per i campi E e B
 - In particolare le onde piane

$$\mathbf{A}(\mathbf{r},t) = \tilde{\mathbf{A}}_{\mathbf{0}} e^{-i(\mathbf{k}\cdot\mathbf{r} - \omega t)}$$

- ullet \mathbf{A}_0 è un vettore, in generale complesso
- ullet La soluzione fisica è la parte reale di A(r,t)

- Vediamo la condizione di trasversalità dell'onda
 - Deve essere

$$\mathbf{A}(\mathbf{r},t) = \tilde{\mathbf{A}}_{\mathbf{0}} e^{-i(\mathbf{k}\cdot\mathbf{r} - \omega t)}$$

$$\nabla \cdot \mathbf{A} = \frac{\partial A_x}{\partial x} + \frac{\partial A_y}{\partial y} + \frac{\partial A_z}{\partial z} = i \left(\tilde{A}_{0x} k_x + \tilde{A}_{0y} k_y + \tilde{A}_{0z} k_z \right) e^{-i(\mathbf{k} \cdot \mathbf{r} - \omega t)} = 0$$

- ullet Pertanto abbiamo la condizione di trasversalità ${f k}\cdot ilde{{f A}}_{\scriptscriptstyle 0}=0$
 - ullet Pertanto ${f A}_0$ deve essere perpendicolare alla direzione di propagazione
- Il campo elettrico si trova semplicemente

$$\mathbf{E} = -\frac{\partial \mathbf{A}}{\partial t} = -i\omega \tilde{\mathbf{A}}_{\mathbf{0}} e^{-i(\mathbf{k}\cdot\mathbf{r}-\omega t)} \equiv \tilde{\mathbf{E}}_{0} e^{-i(\mathbf{k}\cdot\mathbf{r}-\omega t)} \qquad \tilde{\mathbf{E}}_{0} = -i\omega \tilde{\mathbf{A}}_{0}$$

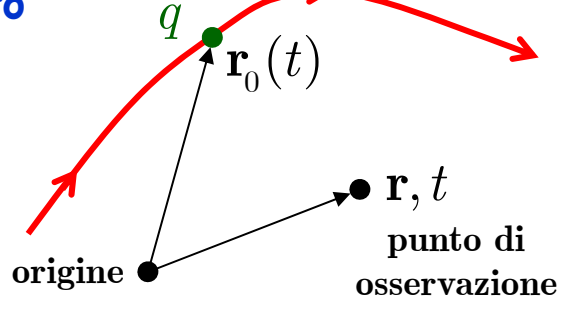
• Per trovare il campo magnetico ricordiamo la forma che acquista l'operatore ∇ per un'onda piana: $\mathbf{k}\cdot\mathbf{r}=k\zeta$ (vedi diapositiva $\frac{\mathbf{386}}{\partial\zeta}$) $\nabla=\hat{\mathbf{k}}\frac{\partial}{\partial\zeta}$

$$\mathbf{B}(\mathbf{r},t) = \mathbf{\nabla} \times \mathbf{A} = -ik\hat{\mathbf{k}} \times \tilde{\mathbf{A}}_0 e^{-i(\mathbf{k}\cdot\mathbf{r}-i\omega t)} = -i\frac{\omega}{c}\hat{\mathbf{k}} \times \tilde{\mathbf{A}}_0 e^{-i(\mathbf{k}\cdot\mathbf{r}-i\omega t)}$$

$$\mathbf{B}(\mathbf{r},t) = \frac{1}{c}\hat{\mathbf{k}} \times \tilde{\mathbf{E}}_0 e^{-i(\mathbf{k}\cdot\mathbf{r}-i\omega t)}$$

- Consideriamo una carica q in movimento arbitrario dato
 - Conosciamo la traiettoria ${\bf r}_0(t)$
 - La densità di carica e la densità corrente sono

$$\rho(\mathbf{r},t) = q\delta[\mathbf{r} - \mathbf{r}_0(t)] \quad \mathbf{J}(\mathbf{r},t) = q\mathbf{v}(t)\delta^3[\mathbf{r} - \mathbf{r}_0(t)]$$



 $t_{
m r} = t - rac{\left| {f r} - {f r}'
ight|}{}$

ullet Calcoliamo i potenziali ritardati generati da q

$$\phi(\mathbf{r},t) = \frac{1}{4\pi\varepsilon_0} \int_{V} \frac{\rho(\mathbf{r}',t_{\rm r})}{|\mathbf{r}-\mathbf{r}'|} d^3\mathbf{r}' \qquad \mathbf{A}(\mathbf{r},t) = \frac{\mu_0}{4\pi} \int_{V} \frac{\mathbf{J}(\mathbf{r}',t_{\rm r})}{|\mathbf{r}-\mathbf{r}'|} d^3\mathbf{r}'$$

$$\mathbf{A}\left(\mathbf{r},t
ight)=rac{\mu_{0}}{4\pi}\int_{V}rac{\mathbf{J}\left(\mathbf{r}',t_{\mathrm{r}}
ight)}{\left|\mathbf{r}-\mathbf{r}'
ight|}d^{3}\mathbf{r}'$$

- Calcoliamo dapprima il potenziale $\phi(\mathbf{r},t)$
 - Il calcolo del potenziale A è analogo
- La complicazione del calcolo è nascosta in $t_{\rm r}$
- Il calcolo risulta più semplice se si scrive la densità di carica come

$$\rho(\mathbf{r}', t_{\mathrm{r}}) = \int_{-\infty}^{+\infty} \rho(\mathbf{r}', t') \delta(t' - t + \frac{|\mathbf{r} - \mathbf{r}'|}{c}) dt'$$

ullet Notiamo che la funzione $ho({f r},t')$ all'interno dell'integrale dipende da un tempo normale, non ritardato -

$$\phi(\mathbf{r},t) = \frac{1}{4\pi\varepsilon_0} \int_V \frac{\rho(\mathbf{r}',t_r)}{|\mathbf{r}-\mathbf{r}'|} d^3\mathbf{r}' \qquad \rho(\mathbf{r},t) = q\delta^3[\mathbf{r}-\mathbf{r}_0(t)]$$

- Abbiamo visto che $ho(\mathbf{r}',t_r)=\int_{-\infty}^{+\infty}
 ho(\mathbf{r}',t')\delta(t'-t+rac{|\mathbf{r}-\mathbf{r}'|}{c})dt'$
- Otteniamo pertanto

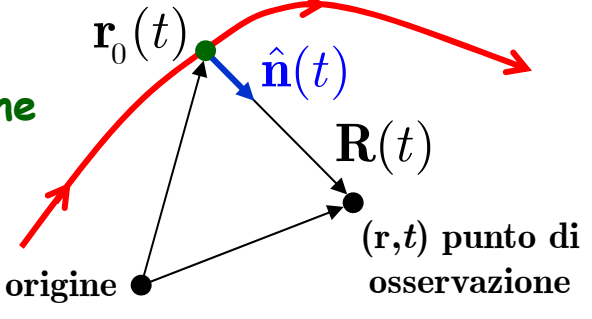
$$\phi(\mathbf{r},t) = \frac{1}{4\pi\varepsilon_0} \int_{V} \int_{-\infty}^{+\infty} \frac{q\delta^3[\mathbf{r}' - \mathbf{r}_0(t')]}{|\mathbf{r} - \mathbf{r}'|} \delta(t' - t + \frac{|\mathbf{r} - \mathbf{r}'|}{c}) dt' d^3\mathbf{r}'$$

ullet La presenza della funzione $\delta^3[{f r}' {f r}_0(t)]$ rende immediato l'integrale in $d^3{f r}'$

$$\phi(\mathbf{r},t) = \frac{1}{4\pi\varepsilon_0} \int_{-\infty}^{+\infty} \frac{q}{|\mathbf{r} - \mathbf{r}_0(t')|} \delta(t' - t + \frac{|\mathbf{r} - \mathbf{r}_0(t')|}{c}) dt'$$

- Definiamo $\mathbf{R}(t) = \mathbf{r} \mathbf{r}_0(t) \equiv R(t)\hat{\mathbf{n}}(t)$
 - ullet Il versore $\hat{\mathbf{n}}(t)$ punta dalla posizione della carica al tempo t alla posizione \mathbf{r} del punto di osservazione

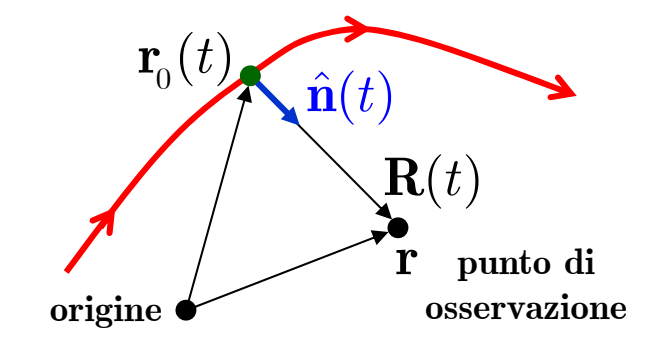
$$\phi(\mathbf{r},t) = \frac{q}{4\pi\varepsilon_0} \int_{-\infty}^{+\infty} \frac{1}{R(t')} \delta(t'-t + \frac{R(t')}{c}) dt'$$



$$\phi(\mathbf{r},t) = \frac{q}{4\pi\varepsilon_0} \int_{-\infty}^{+\infty} \frac{1}{R(t')} \delta(t'-t + \frac{R(t')}{c}) dt'$$

- ullet Elaboriamo la funzione δ
 - Ricordiamo che

$$\delta[f(x)] = \sum_{i} \frac{\delta(x - x_i)}{|f'(x_i)|} \qquad f(x_i) = 0$$



$$\mathbf{R}(t) = \mathbf{r} - \mathbf{r}_0(t) = R(t)\hat{\mathbf{n}}(t)$$

Abbiamo

$$f(t')=t'-t+\frac{R(t')}{c} \qquad f(t_{\rm r})=0 \qquad \begin{array}{ll} \text{per definizione} \\ t_{\rm r} \ \dot{\text{e}} \ \text{definito} \\ \text{dall'equazione} \end{array} \qquad t_{\rm r}=t-\frac{R(t_{\rm r})}{c}$$

$$t_{\rm r} = t - \frac{R(t_{\rm r})}{c}$$

$$f'(t') = 1 + \frac{1}{c} \frac{dR(t')}{dt'}$$
 $R(t') = \sqrt{\mathbf{R}(t') \cdot \mathbf{R}(t')}$

$$\mathbf{v} = \frac{d\mathbf{r}_0}{dt} = -\frac{d\mathbf{R}}{dt}$$

$$\frac{dR(t')}{dt'} = \frac{1}{2} \frac{1}{\sqrt{\mathbf{R}(t') \cdot \mathbf{R}(t')}} \left(\frac{d\mathbf{R}}{dt'} \cdot \mathbf{R} + \mathbf{R} \cdot \frac{d\mathbf{R}}{dt'} \right) = \frac{1}{R(t')} \frac{d\mathbf{R}}{dt'} \cdot \mathbf{R} = -\mathbf{v}(t') \cdot \hat{\mathbf{n}}(t')$$

$$\frac{f'(t') = 1 - \beta(t') \cdot \hat{\mathbf{n}}(t') > 0}{\delta(t' - t + \frac{R(t')}{c})} = \frac{\delta(t' - t_{r})}{1 - \beta(t_{r}) \cdot \hat{\mathbf{n}}(t_{r})}$$

$$\delta(t' - t + \frac{R(t')}{c}) = \frac{\delta(t' - t_{r})}{1 - \beta(t_{r}) \cdot \hat{\mathbf{n}}(t_{r})} = \frac{\delta(t' - t_{r})}{g(t_{r})} \qquad g(t) = 1 - \beta(t) \cdot \hat{\mathbf{n}}(t)$$

- Inseriamo il risultato nella formula del potenziale ritardato
 - Abbiamo

$$\phi\left(\mathbf{r},t\right) = \frac{q}{4\pi\varepsilon_{0}} \int_{-\infty}^{+\infty} \frac{1}{R(t')} \delta(t'-t+\frac{R(t')}{c}) dt'$$

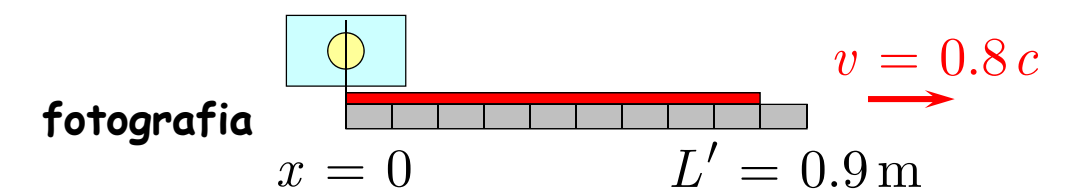
$$= \frac{q}{4\pi\varepsilon_{0}} \int_{-\infty}^{+\infty} \frac{1}{g(t')R(t')} \delta(t'-t_{r}) dt' = \frac{q}{4\pi\varepsilon_{0}} \frac{1}{R(t_{r})(1-\boldsymbol{\beta}(t_{r})\cdot\hat{\mathbf{n}}(t_{r}))}$$

$$\phi(\mathbf{r},t) = \frac{q}{4\pi\varepsilon_0} \frac{1}{\left|\mathbf{r} - \mathbf{r}_0(t_{\rm r})\right|} \frac{1}{1 - \boldsymbol{\beta}(t_{\rm r}) \cdot \hat{\mathbf{n}}(t_{\rm r})}$$

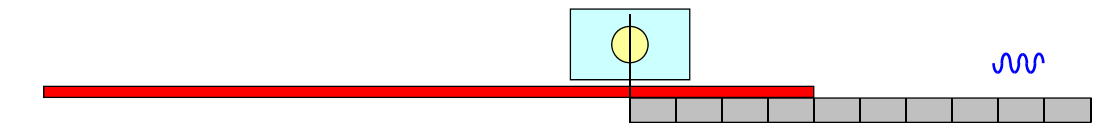
ullet E analogamente per $\mathbf{A}(\mathbf{r},t)$

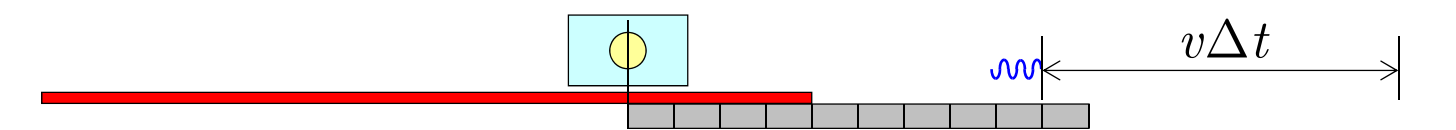
$$\mathbf{A}(\mathbf{r},t) = \frac{q\mathbf{v}(t_{r})}{4\pi\varepsilon_{0}} \frac{1}{\left|\mathbf{r} - \mathbf{r}_{0}(t_{r})\right|} \frac{1}{1 - \boldsymbol{\beta}(t_{r}) \cdot \hat{\mathbf{n}}(t_{r})}$$

- ullet Per comprendere meglio il significato del fattore $1-oldsymbol{eta}\cdot\hat{\mathbf{n}}$ consideriamo il seguente problema
 - ullet Una barra si muove da sinistra verso destra con velocità v=0.8 c



- ullet Una macchina fotografica riprende l'immagine quando l'estremità sinistra della barra passa per la posizione x=0 di un metro
 - La fotografia mostra che l'estremità destra della barra coincide con la lettura $L^\prime=0.9~\mathrm{m}$ del metro.
 - Metro e macchina fotografica sono a riposo. Quanto è lunga la barra ?
- ullet Chiamiamo L la lunghezza reale della barra e L' la lunghezza apparente
- La luce che segnala che l'estremità destra della barra è nella posizione $L'=0.9~\mathrm{m}$ deve partire prima della luce che segnala la posizione 0.
 - Poiché la luce deve percorrere L' sarà partita Δt secondi prima $\Delta t = \frac{L'}{c}$





ullet Nel tempo che la luce impiega per raggiungere l'obbiettivo la barra (in particolare l'estremità di destra) si sposta verso destra di Δx

$$\Delta x = v\Delta t$$

- La lunghezza della barra è pertanto la somma di due termini
 - ullet Della lunghezza apparente misurata dalla macchina fotografica: L'
 - Dello spazio percorso dalla barra nell'intervallo di tempo che la luce emessa a $L'=0.9~{
 m m}$ impiega per raggiungere l'obbiettivo: $v\Delta\,t$

$$L = L' + v\Delta t = L' + v\frac{L'}{c} = L'(1+\beta)$$

ullet La relazione fra lunghezza reale L e lunghezza apparente L' è pertanto

$$L' = \frac{L}{1+\beta}$$
 $L = 0.9 \cdot (1+0.8) = 1.62 \,\mathrm{m}$

- Sottolineiamo che non si tratta della contrazione di Lorentz
 - È simile all'effetto Doppler

- Se la barra si muove in direzione opposta il fattore diventa $1-\beta$
 - ullet Infatti in questo caso la lunghezza apparente L' è maggiore

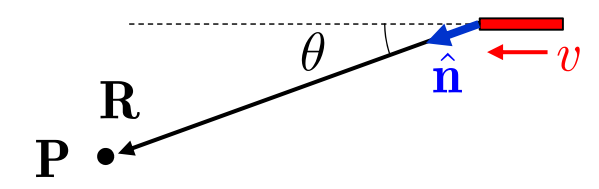


$$L' = \frac{L}{1 - \beta}$$

- ullet In questo caso una barra lunga $L=0.18~\mathrm{m}$ viene fotografata come una barra lunga $L'=0.9~\mathrm{m}$
- In entrambi i casi trattati la velocità della sorgente e il vettore dalla sorgente al punto di osservazione sono paralleli o antiparalleli

$$\mathbf{P} \bullet \overset{\hat{\mathbf{R}}}{\longleftarrow} v$$

• Se il vettore R e la velocità v non sono paralleli (o antiparalleli) le derivazioni precedenti sono ancora valide a condizione di usare le proiezioni delle lunghezze nella direzione di v: $L\cos\theta$, $L'\cos\theta$



ullet Il fattore diventa pertanto $1-oldsymbol{eta}\cdot\hat{f n}$

- Sottolineiamo ulteriormente le analogie con l'effetto Doppler_c
 - ullet Un veicolo si muove con velocità v





1 particella ogni $1/n_{\scriptscriptstyle g}$ secondi



- ullet I proiettili si muovono con velocità c
- ullet I proiettili colpiscono un bersaglio con freguenza n_*
- Per semplicità supponiamo che le particelle vengano emesse uniformemente
 - ullet Una particella viene emessa al tempo $t_{
 m o}$
 - ullet Supponendo sia stata emessa ad una distanza L dal bersaglio lo raggiungerà al tempo $t_1 = t_0 + L/c$
 - ullet La successiva particella è emessa al tempo t_0+1/n_q
 - ullet È stata emessa ad un una distanza $oldsymbol{L}-oldsymbol{v}/oldsymbol{n}_g$
 - ullet Raggiunge il bersaglio al tempo $t_2 = t_0 + 1/n_q + (L v/n_q)/c$
- ullet La frequenza n_t con cui le particelle colpiscono il bersaglio $\dot{f e}$

$$\frac{1}{n_t} = \Delta t = t_2 - t_1 = t_0 + \frac{1}{n_g} + \frac{\dot{L}}{c} - \frac{\beta}{n_g} - t_0 - \frac{\dot{L}}{c} = \frac{1}{n_g} - \frac{\beta}{n_g}$$

$$\frac{1}{n_t} = \frac{1}{n_g} (1 - \beta) \qquad \boxed{n_t = \frac{n_g}{1 - \beta}}$$



- Per finire osserviamo la differenza fra i due integrali
 - L'integrale della densità di carica funzione del tempo "normale" t $\int \rho({\bf r}',t)d^3{\bf r}'=q$
 - ullet L'integrale della densità di carica funzione del tempo "ritardato" $t_{
 m r}$

$$\rho(\mathbf{r}', t_r) = \int_{-\infty}^{+\infty} \rho(\mathbf{r}', t') \delta(t' - t + \frac{|\mathbf{r} - \mathbf{r}'|}{c}) dt'$$

$$\delta(t' - t + \frac{R(t')}{c}) = \frac{\delta(t' - t_r)}{1 - \beta(t_r) \cdot \hat{\mathbf{n}}(t_r)} \qquad \int \rho(\mathbf{r}', t_r) d^3 \mathbf{r}' = \frac{q}{1 - \beta(t_r) \cdot \hat{\mathbf{n}}(t_r)}$$

- ullet Il secondo integrale presuppone la definizione di un punto di osservazione (\mathbf{r},t)
- L'integrale usa valori della densità di carica presi a tempi diversi

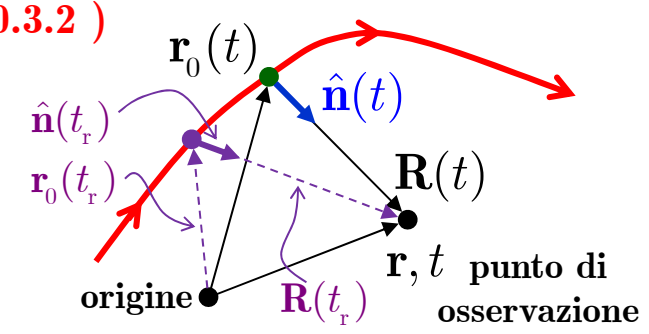
$$t_{\rm r} = t - \frac{\left| \mathbf{r} - \mathbf{r}' \right|}{c}$$

• Il dominio di integrazione di ${f r}'$ in cui $ho({f r}',t_{f r})$ è diversa da zero è più grande rispetto all'integrale precedente

Campi di Liénard-Wiechert

- Le formule per i potenziali trovate sono semplici solo apparentemente
 - ullet Per passare ai campi E e B bisogna eseguire le derivate prestando molta attenzione alle quantità "ritardate"
 - ullet Un calcolo dettagliato $\dot{f e}$ fatto nel Griffiths † ($\S~10.3.2$)
 - Ricordiamo le definizioni della geometria

$$\mathbf{R}(t) = \mathbf{r} - \mathbf{r}_{0}(t) = R(t)\hat{\mathbf{n}}(t)$$
$$t_{r} = t - \frac{R(t_{r})}{c}$$



• Il risultato per il campo elettrico è

$$\mathbf{E}(\mathbf{r},t) = \frac{q}{4\pi\varepsilon_0} \left[\frac{(1-\beta^2)(\hat{\mathbf{n}}-\boldsymbol{\beta})}{g^3R^2} + \frac{\hat{\mathbf{n}}\times((\hat{\mathbf{n}}-\boldsymbol{\beta})\times\dot{\boldsymbol{\beta}})}{cg^3R} \right]_{\mathrm{ret}}$$

• Il risultato per il campo magnetico è

$$\mathbf{B}(\mathbf{r},t) = \frac{1}{c}\hat{\mathbf{n}}(t_{r}) \times \mathbf{E}(\mathbf{r},t)$$

 $g(t) = 1 - \beta(t) \cdot \hat{\mathbf{n}}(t)$

dentro le parentesi $[\]$ tutto è calcolato al tempo $t_{\rm r}$

- †Vedi Griffiths D. Introduction to Electrodynamics 3° ed. Prentice Hall 1999
- Vedi anche Zangwill A. Modern Electrodynamics CUP 2012 p. 875

Campi di Liénard-Wiechert

• Esaminiamo più attentamente il campo elettrico

$$\mathbf{E}(\mathbf{r},t) = \frac{q}{4\pi\varepsilon_0} \left[\frac{(1-\beta^2)(\hat{\mathbf{n}}-\boldsymbol{\beta})}{g^3R^2} + \frac{\hat{\mathbf{n}}\times((\hat{\mathbf{n}}-\boldsymbol{\beta})\times\dot{\boldsymbol{\beta}})}{cg^3R} \right]_{\mathrm{ret}}$$

- ullet Il campo risulta da due contributi diversi $\mathbf{E}=\mathbf{E}_{\mathrm{v}}+\mathbf{E}_{\mathrm{a}}$
 - ullet Il primo termine $\mathbf{E}_{\mathbf{v}}$ è chiamato campo di velocità
 - ullet Questo termine varia come $1/R^2$
 - ullet Il secondo termine $\mathbf{E}_{\mathbf{a}}$ è chiamato campo di accelerazione
 - ullet Questo termine varia come 1/R
 - ullet Anche il corrispondente B_{a} varia come 1/R

$$\mathbf{B}(\mathbf{r},t) = \frac{1}{c}\hat{\mathbf{n}}(t_{r}) \times \mathbf{E}(\mathbf{r},t)$$

- ullet Il vettore di Poynting dei campi di accelerazione varia come $1/R^2$
 - ullet Il flusso di energia attraverso una superficie di raggio R è costante
 - Il campo di accelerazione è la radiazione che viaggia
- Ritorneremo più avanti sul problema della radiazione da parte di una carica di cui si conosce la legge del moto ${f r}_0(t)$
- ullet Per comprendere meglio le formule calcoliamo i campi di una carica in moto rettilineo uniforme ${f r}_0(t)={f v} t$



Campo di una carica con v costante

- Specializziamo la formula al caso di una carica in moto rettilineo uniforme
 - Abbiamo già analizzato questo problema con altri metodi (vedi 162)
 - ullet Se la carica non accelera il campo di accelerazione \dot{ullet} nullo ${
 m E_a}=0$

$$\mathbf{E}(\mathbf{r},t) = \mathbf{E}_{\mathrm{v}} = \frac{q}{4\pi\varepsilon_{0}} \left[\frac{1}{(1-\hat{\mathbf{n}}\cdot\boldsymbol{\beta})^{3}} \frac{(1-\beta^{2})(\hat{\mathbf{n}}-\boldsymbol{\beta})}{R^{2}} \right]_{\mathrm{ret}}$$

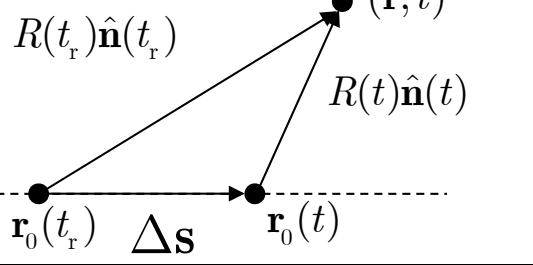
- ullet L'obbiettivo è esprimere la formula in funzione di t eliminando $t_{
 m r}$
- Consideriamo la traiettoria della particella in moto
 - ullet Consideriamo un punto di osservazione $({f r},t)$
 - Al tempo t la posizione della particella è $\mathbf{r}_0(t) = \mathbf{v} t$
 - ullet Al tempo precedente $t_{
 m r}$ la particella è nella posizione ${
 m r}_{
 m 0}(t_{
 m r})={
 m v}\,t_{
 m r}$
 - ullet Il tempo ritardato $t_{
 m r}$ è la soluzione dell'equazione

$$t_{\rm r} = t - \frac{\left|\mathbf{r} - \mathbf{r}_{\rm 0}(t_{\rm r})\right|}{c} = t - \frac{R(t_{\rm r})}{c} \qquad \qquad t - t_{\rm r} = \frac{R(t_{\rm r})}{c} \qquad \qquad \mathbf{v}(t - t_{\rm r}) = \boldsymbol{\beta}R(t_{\rm r})$$
• Abbiamo pertanto
$$\Delta \mathbf{s} = \mathbf{v}(t - t_{\rm r}) - \boldsymbol{\beta}R(t_{\rm r})$$

$$\Delta \mathbf{s} \equiv \mathbf{v}(t - t_{\mathrm{r}}) = \boldsymbol{\beta} R(t_{\mathrm{r}})$$

Rappresentiamo i vettori

$$R(t_{
m r})\hat{f n}(t_{
m r}) = \Delta{f s} + R(t)\hat{f n}(t)$$
 ${f r}_{{}_0}(t_{
m r})$ $\Delta{f s}$



Campo di una carica con v costante

Otteniamo pertanto

$$\Delta \mathbf{s} = \boldsymbol{\beta} R(t_{\mathrm{r}})$$

$$R(t_{r})\hat{\mathbf{n}}(t_{r}) = \Delta \mathbf{s} + R(t)\hat{\mathbf{n}}(t)$$

$$R(t_{r})\hat{\mathbf{n}}(t_{r}) = \Delta \mathbf{s} + R(t)\hat{\mathbf{n}}(t)$$
 $R(t_{r})\hat{\mathbf{n}}(t_{r}) = \boldsymbol{\beta}R(t_{r}) + R(t)\hat{\mathbf{n}}(t)$

$$\left| \hat{\mathbf{n}}(t_{\mathrm{r}}) - \boldsymbol{\beta} \right| = \frac{R(t)\hat{\mathbf{n}}(t)}{R(t_{\mathrm{r}})}$$

$$\frac{\hat{\mathbf{n}}(t_{\mathrm{r}}) - \boldsymbol{\beta} = \frac{R(t)\hat{\mathbf{n}}(t)}{R(t_{\mathrm{r}})} \qquad \mathbf{E}(\mathbf{r}, t) = \frac{q}{4\pi\varepsilon_{0}} \left[\frac{1}{(1 - \hat{\mathbf{n}} \cdot \boldsymbol{\beta})^{3}} \frac{(1 - \beta^{2})(\hat{\mathbf{n}} - \boldsymbol{\beta})}{R^{2}} \right]_{\mathrm{ret}}$$

- Useremo questa relazione per sviluppare il numeratore del campo
- Consideriamo ancora il grafico
 - ullet Calcoliamo la proiezione AB di $\Delta {
 m s}$ su AC

$$AB = \Delta \mathbf{s} \cdot \hat{\mathbf{n}}(t_{r}) = R(t_{r})\boldsymbol{\beta} \cdot \hat{\mathbf{n}}(t_{r})$$

Inoltre

$$\begin{split} BC &= R(t_{\mathrm{r}}) - R(t_{\mathrm{r}}) \pmb{\beta} \cdot \hat{\mathbf{n}}(t_{\mathrm{r}}) \\ &= R(t_{\mathrm{r}})[1 - \pmb{\beta} \cdot \hat{\mathbf{n}}(t_{\mathrm{r}})] = R(t_{\mathrm{r}})g(t_{\mathrm{r}}) \end{split}$$

• Consideriamo i triangoli rettangoli BCD e BDA

$$R(t_{r})\hat{\mathbf{n}}(t_{r})B$$

$$R(t)\hat{\mathbf{n}}(t)$$

$$R(t)\hat{\mathbf{n}}(t)$$

$$\mathbf{r}_{0}(t_{r})$$

$$\Delta \mathbf{s} = \boldsymbol{\beta}R(t_{r})$$

 $g(t) = 1 - \beta(t) \cdot \hat{\mathbf{n}}(t)$

$$BD = AD \sin \alpha = \Delta s \sin \alpha = \beta R(t_{r}) \sin \alpha$$

$$\beta^{2}R^{2}(t_{r}) \sin^{2} \alpha + R^{2}(t_{r})g^{2}(t_{r}) = R^{2}(t)$$

$$R(t_{r}) \sin \alpha = R(t) \sin \theta$$

$$\beta^{2}R^{2}(t) \sin \theta$$

Campo di una carica con v costante

$$\beta^2 R^2(t) \sin^2 \theta + R^2(t_r) g^2(t_r) = R^2(t)$$

$$\beta^2 R^2(t) \sin^2 \theta + R^2(t_{\rm r}) g^2(t_{\rm r}) = R^2(t) \qquad \mathbf{E}(\mathbf{r},t) = \frac{q}{4\pi\varepsilon_0} \left[\frac{1}{(1-\hat{\mathbf{n}}\cdot\boldsymbol{\beta})^3} \frac{(1-\beta^2)(\hat{\mathbf{n}}-\boldsymbol{\beta})}{R^2} \right]_{\rm ret}$$

Otteniamo

$$g^{2}(t_{r})R^{2}(t_{r}) = R^{2}(t)(1 - \beta^{2}\sin^{2}\theta)$$

 $g(t_r) = [1 - \boldsymbol{\beta} \cdot \hat{\mathbf{n}}(t_r)]$

Pertanto

$$g^{3}(t_{r})R^{3}(t_{r}) = R^{3}(t)(1-\beta^{2}\sin^{2}\theta)^{3/2}$$

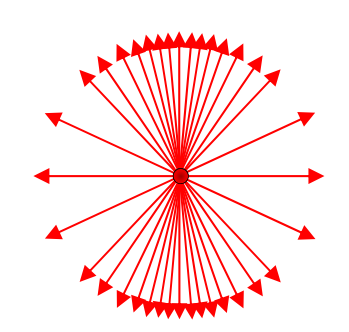
ricordiamo

$$|\hat{\mathbf{n}}(t_{r}) - \boldsymbol{\beta}| = \frac{R(t)\hat{\mathbf{n}}(t)}{R(t_{r})}$$

Inseriamo nell'espressione del campo

$$\mathbf{E}(\mathbf{r},t) = \frac{q}{4\pi\varepsilon_0} \left[\frac{1}{(1-\hat{\mathbf{n}}\cdot\boldsymbol{\beta})^3} \frac{(1-\beta^2)(\hat{\mathbf{n}}-\boldsymbol{\beta})}{R^2} \right]_{\text{ret}}$$

$$\mathbf{E}(\mathbf{r},t) = \frac{q}{4\pi\varepsilon_0} \frac{1}{(1-\hat{\mathbf{n}}(t_r)\cdot\boldsymbol{\beta})^3} \frac{(1-\beta^2)\mathbf{R}(t)}{R^3(t_r)}$$



$$\mathbf{E}(\mathbf{r},t) = \frac{q}{4\pi\varepsilon_0} \frac{(1-\beta^2)\mathbf{R}(t)}{(1-\beta^2\sin^2\theta)^{3/2}R^3(t)}$$

Identico al risultato ottenuto in 167

Potenziali di una carica con v costante

- Calcoliamo infine i potenziali di una carica che si muove con velocità v costante
 - Ricordiamo i risultati fin qui ottenuti

Ricordiamo i risultati fin qui ottenuti
$$\mathbf{R}(t) = \mathbf{r} - \mathbf{r}_0(t) = R(t)\hat{\mathbf{n}}(t) \quad \mathbf{r}_0(t) = \mathbf{v}t$$

$$R(t_r)$$

$$R(t) = \left| \mathbf{r} - \mathbf{v}t \right|$$
 $t_{\mathrm{r}} = t - \frac{R(t_{\mathrm{r}})}{c}$

$$g(t) = 1 - \beta(t) \cdot \hat{\mathbf{n}}(t) \qquad g^{3}(t)$$

$$g(t) = 1 - \beta(t) \cdot \hat{\mathbf{n}}(t)$$
 $g^{3}(t_{r})R^{3}(t_{r}) = R^{3}(t)(1 - \beta^{2}\sin^{2}\theta)^{3/2}$

$$g(t_{\rm r})R(t_{\rm r}) = R(t)(1-\beta^2\sin^2\theta)^{1/2}$$

ullet Per il potenziale $\phi(\mathbf{r},t)$

$$\phi(\mathbf{r},t) = \frac{q}{4\pi\varepsilon_0} \frac{1}{\left|\mathbf{r} - \mathbf{r}_0(t_{\rm r})\right|} \frac{1}{1 - \boldsymbol{\beta}(t_{\rm r}) \cdot \hat{\mathbf{n}}(t_{\rm r})} = \frac{q}{4\pi\varepsilon_0} \frac{1}{(1 - \beta^2 \sin^2 \theta)^{1/2}} \frac{1}{R(t)}$$

 $R(t_{\rm r})$ $g(t_{\rm r})$

ullet Per il potenziale ${f A}({f r},t)$

$$\mathbf{A}(\mathbf{r},t) = \frac{q\mathbf{v}(t_{\mathrm{r}})}{4\pi\varepsilon_{0}} \frac{1}{\left|\mathbf{r} - \mathbf{r}_{0}(t_{\mathrm{r}})\right|} \frac{1}{1 - \boldsymbol{\beta}(t_{\mathrm{r}}) \cdot \hat{\mathbf{n}}(t_{\mathrm{r}})} = \frac{q\mathbf{v}}{4\pi\varepsilon_{0}} \frac{1}{(1 - \beta^{2}\sin^{2}\theta)^{1/2}} \frac{1}{R(t)}$$

 $\bullet (\mathbf{r},t)$

 $R(t)\hat{\mathbf{n}}(t)$

 $R(t_{\rm r})\hat{\mathbf{n}}(t_{\rm r})$

Quantità di moto

- Un altro esempio sulla quantità di moto, apparente paradosso
 - ullet Consideriamo due sistemi di riferimento Σ e Σ'
 - \bullet Σ' si muove da destra verso sinistra con velocita \mathbf{v}'
 - Supponiamo che nel sistema Σ' due cariche q_1 e q_2 si muovano con velocità opposte con lo stesso modulo v'
 - ullet Naturalmente nel sistema Σ la carica q_1 è ferma mentre la carica q_2 si muove con una velocità ${f v}$
- Osserviamo innanzitutto che in entrambi i sistemi l'interazione fra le due cariche è solo elettrica
 - Infatti il campo magnetico nella posizione delle cariche è nullo

$${f B}=rac{1}{c^2}{f v} imes {f E}$$
 se ${f v}$ ed ${f E}$ sono paralleli segue che ${f B}={f 0}$ so elettrico generato dalle due cariche è $\sin heta'=0$ $eta'=rac{v'}{c}$

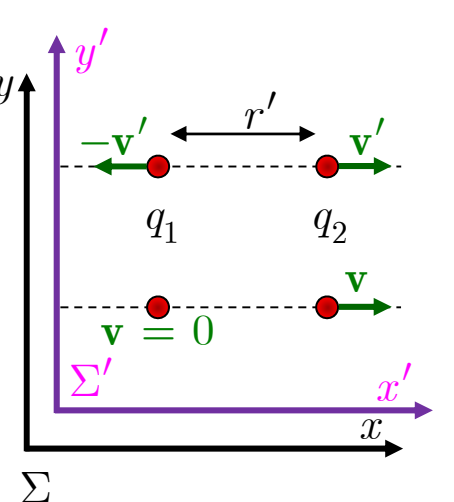
• Il campo elettrico generato dalle due cariche è

$$E_{1,2} = \frac{1}{4\pi\varepsilon_0} \frac{q_{1,2}}{r'^2} \frac{1 - \beta'^2}{\left(1 - \beta'^2 \sin^2\theta'\right)^{\frac{3}{2}}} = \frac{1}{4\pi\varepsilon_0} \frac{q_{1,2}}{r'^2} \left(1 - \beta'^2\right)$$

ullet Nel sistema Σ' su ciascuna carica agisce la forza

$$\mathbf{F_{1,2}} = \pm \frac{1}{4\pi\varepsilon_0} \frac{q_1 q_2}{r'^2} (1 - \beta'^2) \hat{\mathbf{e}}_{x'}$$

• Le due forze soddisfano la terza legge di Newton



Quantità di moto

- ullet Analizziamo adesso il fenomeno nel sistema Σ
 - ullet Nella posizione della carica q_1 il campo elettrico \dot{ullet}

Wella posizione della carica
$$q_1$$
 il campo elettrico è $\mathbf{E_1} = -\frac{1}{4\pi\varepsilon_0}\frac{q_2}{r^2}\Big(1-\beta^2\Big)\hat{\mathbf{e}}_x$ $\mathbf{F_{12}} = -\frac{1}{4\pi\varepsilon_0}\frac{q_1q_2}{r^2}\Big(1-\beta^2\Big)\hat{\mathbf{e}}_x$ Vella posizione della carica q_2 il campo è elettrico è $\mathbf{q_1}$ $\mathbf{q_2}$ $\mathbf{q_3}$

ullet Nella posizione della carica q_2 il campo è elettrico è

$$\mathbf{E_2} = \frac{1}{4\pi\varepsilon_0} \frac{q_1}{r^2} \hat{\mathbf{e}}_x$$

$$\mathbf{E_2} = \frac{1}{4\pi\varepsilon_0} \frac{q_1}{r^2} \hat{\mathbf{e}}_x \qquad \qquad \mathbf{F_{21}} = \frac{1}{4\pi\varepsilon_0} \frac{q_1 q_2}{r^2} \hat{\mathbf{e}}_x$$

- Osserviamo che le due forze agiscono sulla congiungente ma hanno moduli diversi
- La terza legge di Newton non è soddisfatta
- Ancora una volta la soluzione si trova attribuendo quantità di moto al campo
 - Nella prossima diapositiva vedremo che che la quantità di moto del campo è

$$\mathbf{p}_{EM} = q\mathbf{A} \qquad \mathbf{A}\left(x, 0, 0, t\right) = \frac{\mu_0}{4\pi} \frac{q_2 v}{r + vt} \hat{\mathbf{e}}_x = \frac{1}{4\pi\varepsilon_0 c^2} \frac{q_2 v}{r + vt} \hat{\mathbf{e}}_x$$

• Utilizzando la quantità di moto del campo vedremo che

$$\mathbf{F_{12}} + \mathbf{F_{21}} = -\frac{d\mathbf{p}_{EM}}{dt}$$

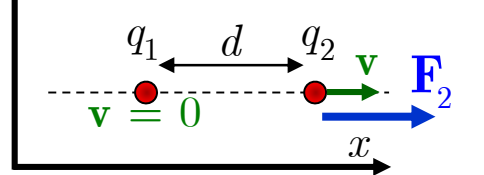
$$\frac{\mathbf{f_{12}} + \mathbf{F_{21}} = -\frac{d\mathbf{p}_{EM}}{dt}}{dt} \qquad \frac{d\mathbf{p}_{EM}}{dt} = q_2 \frac{d\mathbf{A}}{dt} = -\frac{1}{4\pi\varepsilon_0 c^2} \frac{q_1 q_2 v^2}{\left(r + vt\right)^2} \hat{\mathbf{e}}_x = -\frac{1}{4\pi\varepsilon_0} \frac{q_1 q_2 \beta^2}{r^2} \hat{\mathbf{e}}_x$$

ullet Sommiamo ${
m F}_{12}$ e ${
m F}_{21}$

$$\mathbf{F_{12}} + \mathbf{F_{21}} = \frac{1}{4\pi\varepsilon_0} \frac{q_1 q_2 \beta^2}{r^2} \hat{\mathbf{e}}_x$$

Terza legge di Newton

- Il paradosso dell'apparente violazione della terza legge ydi Newton† può essere risolto nel modo seguente
 - ullet Abbiamo una carica q_1 ferma, supponiamo a ${f r}_1=0$



- ullet Una carica q_2 che si muove con velocità ${
 m v}$ verso destra
 - ullet La sua posizione al tempo t è $\mathbf{r}_2(t) = \mathbf{v}t = d$
- ullet La carica q_1 genera il potenziale $\phi_1({f r})$ indipendente dal tempo

$$\phi_1(\mathbf{r}) = \frac{q_1}{4\pi\varepsilon_0} \frac{1}{(x^2 + y^2 + z^2)^{1/2}}$$

$$\begin{aligned} \bullet \text{ La carica } q_2 \text{ genera i potenziali } \phi_2(\mathbf{r},t), \mathbf{A}(\mathbf{r},t) \\ \phi_2(\mathbf{r},t) &= \frac{q_2}{4\pi\varepsilon_0} \frac{1}{(1-\beta^2\sin^2\theta)^{1/2}} \frac{1}{((x-vt)^2+y^2+z^2)^{1/2}} \end{aligned}$$

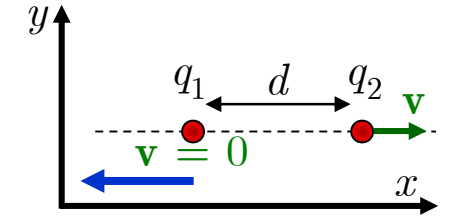
$$\mathbf{A}(\mathbf{r},t) = \frac{q_2 \mathbf{v}}{4\pi\varepsilon_0} \frac{1}{(1-\beta^2 \sin^2 \theta)^{1/2}} \frac{1}{((x-vt)^2 + y^2 + z^2)^{1/2}}$$

- ullet Calcoliamo la forza ${
 m F}_2$ esercitata da q_1 su q_2 : ${
 m F}_2=q_2{
 m E}_1({
 m r}_2)$
 - Il campo \mathbf{E}_1 è un campo elettrostatico
- †Vedi Zangwill A. Modern Electrodynamics CUP 2012 p. 511

Terza legge di Newton

- ullet Calcoliamo la forza ${f F}_1$ sulla carica q_1
 - ullet È generata dalla carica q_2 in movimento

$$\mathbf{F}_{\!\scriptscriptstyle 1} = q_{\scriptscriptstyle 1} \mathbf{E}_{\scriptscriptstyle 2}(\mathbf{r}_{\!\scriptscriptstyle 1}) = -q_{\scriptscriptstyle 1} \mathbf{
abla} \phi_{\scriptscriptstyle 2} - q_{\scriptscriptstyle 1} rac{\partial \mathbf{A}}{\partial t}$$



ullet Calcoliamo il gradiente di ϕ_2

$$\phi_2(\mathbf{r},t) = \frac{q_2}{4\pi\varepsilon_0} \frac{1}{(1-\beta^2 \sin^2 \theta)^{1/2}} \frac{1}{((x-vt)^2 + y^2 + z^2)^{1/2}} \equiv f_1(\mathbf{r}) f_2(\mathbf{r})$$

ullet Osserviamo preliminarmente che il calcolo finale andrà fatto per ${f r}=0$

$$\nabla \phi_2(\mathbf{r},t) = f_2(\mathbf{r}) \nabla f_1(\mathbf{r}) + f_1(\mathbf{r}) \nabla f_2(\mathbf{r})$$

• Si verifica facilmente che

$$\left. \boldsymbol{\nabla} f_1(\mathbf{r}) \right|_{\mathbf{r}=0} = 0 \qquad f_1(\mathbf{0}) = 1$$

• Otteniamo pertanto

$$\mathbf{F}_{1} = -q_{1} \boldsymbol{\nabla} \phi_{2} \Big|_{\mathbf{r}=0} = \frac{q_{1} q_{2}}{4\pi\varepsilon_{0}} \frac{(x-vt)\hat{\mathbf{e}}_{x} + y\hat{\mathbf{e}}_{y} + z\hat{\mathbf{e}}_{z}}{\left[(x-vt)^{2} + y^{2} + z^{2}\right]^{\frac{3}{2}}} \Bigg|_{\mathbf{r}=0} = -\frac{q_{1} q_{2}}{4\pi\varepsilon_{0}} \frac{\hat{\mathbf{e}}_{x}}{v^{2}t^{2}}$$

ullet Osserviamo che il modulo di questo contributo a ${f F}_1$ è uguale a quello di ${f F}_2$



Terza legge di Newton

Riassumendo

$$\mathbf{F}_{2} = rac{q_{1}q_{2}}{4\piarepsilon_{0}}rac{\hat{\mathbf{e}}_{x}}{d^{2}}$$
 $\mathbf{F}_{1} = -rac{q_{1}q_{2}}{4\piarepsilon_{0}}rac{\hat{\mathbf{e}}_{x}}{v^{2}t^{2}} - q_{1}rac{\partial\mathbf{A}}{\partial t}$ $\mathbf{F}_{1} + \mathbf{F}_{2} = -q_{1}rac{\partial\mathbf{A}}{\partial t}$

- La terza legge di Newton sembra violata
- Alla forza corrisponde una variazione di quantità di moto

$$\mathbf{F}_{\!\scriptscriptstyle 1} + \mathbf{F}_{\!\scriptscriptstyle 2} = rac{d}{dt} \mathbf{p}_{\!\scriptscriptstyle \mathrm{mech}}$$

 \bullet Concludiamo che per ripristinare la terza legge di Newton (e con essa la conservazione della quantità di moto) dobbiamo ipotizzare l'esistenza di una ulteriore quantità di moto $p_{\rm EM}$ tale che

$$\frac{d}{dt}(\mathbf{p}_{\text{mech}} + \mathbf{p}_{\text{EM}}) = 0 \qquad \longrightarrow \qquad \frac{d}{dt}\mathbf{p}_{\text{EM}} = -\frac{d}{dt}\mathbf{p}_{\text{mech}} = q_1 \frac{\partial \mathbf{A}}{\partial t}$$

• E infine

$$\left|\mathbf{p}_{\scriptscriptstyle ext{EM}}\right|=q_{\scriptscriptstyle ext{1}}\mathbf{A}$$

- ullet A questo stesso risultato si può giungere a partire dalla definizione ullet ${f g}=rac{1}{c}{f S}$
 - Nel sistema di riferimento in cui una delle cariche è a riposo, utilizzando il gauge di Coulomb e integrando su tutto lo spazio
 - †Vedi Zangwill A. Modern Electrodynamics CUP 2012, §15.5.3, p. 514

Radiazione

- Quando una carica subisce un'accelerazione si genera una perturbazione elettromagnetica che si disaccoppia dalle sorgenti che l'hanno generata
 - La perturbazione generata viaggia allontanandosi dalla sorgente
 - Trasporta energia e quantità di moto
 - La potenza (Joule al secondo) della radiazione, al tempo t, è data dal flusso del vettore di Poynting attraverso (ad esempio) la superficie A di una sfera di raggio r (con r molto grande)

$$\mathbf{S} = \frac{1}{\mu_0} \mathbf{E} \times \mathbf{B}$$
 $P(r,t) = \frac{1}{\mu_0} \int_A (\mathbf{E} \times \mathbf{B}) \cdot d\mathbf{a}$

- ullet La potenza al tempo t deve essere uguale alla potenza della radiazione emessa dalla sorgente al tempo precedente $t_0=t-r/c$
- Abbiamo pertanto

$$P_{
m source}\left(t_0^{}
ight)=P\left(r,t^{}
ight)=P\left(r,t_0^{}+rac{r}{c}
ight)$$
 Il limite per $r o\infty$ deve essere uguale a $P_{
m source}(t_0^{})$ e quindi indipendente da r

- ullet Pertanto il flusso del vettore di Poynting non deve dipendere da r
- ullet Il flusso del vettore di Poynting S su una sfera di raggio r vale circa

$$P = \frac{1}{\mu_0} \int_A (\mathbf{E} \times \mathbf{B}) \cdot d\mathbf{a} \sim |\mathbf{S}| 4\pi r^2$$
 $P = \text{cost}$ $\longrightarrow |\mathbf{S}_{\text{rad}}| \sim \frac{1}{r^2}$

Radiazione

• Il ragionamento precedente ci dice che i campi statici o quasi statici che conosciamo non possono essere campi di radiazione

$$\left|\mathbf{S}_{\mathrm{rad}}
ight|\simrac{1}{r^{2}}$$

• Ad esempio, per un campo statico

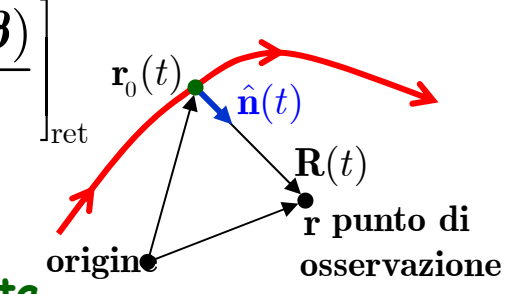
$$E \sim \frac{1}{r^2}$$

$$B \sim \frac{1}{r^2}$$

$$E \sim rac{1}{r^2}$$
 $B \sim rac{1}{r^2}$ $\left| \mathbf{S} \right| \sim rac{1}{r^4}$

- I campi derivati dai potenziali ritardati hanno dei termini che dipendono dalla derivata rispetto al tempo delle sorgenti e che variano come 1/r
 - Ad esempio consideriamo il campo elettrico (vedi diapositiva 468)

$$\begin{split} \mathbf{E}(\mathbf{r},t) &= \frac{q}{4\pi\varepsilon_0} \left[\frac{(1-\beta^2)(\hat{\mathbf{n}}-\boldsymbol{\beta})}{g^3R^2} + \frac{\hat{\mathbf{n}}\times((\hat{\mathbf{n}}-\boldsymbol{\beta})\times\dot{\boldsymbol{\beta}})}{cg^3R} \right]_{\mathrm{ret}} \mathbf{r}_0(t) \\ \mathbf{B} &= \frac{1}{2}\hat{\mathbf{n}}(t_r)\times\mathbf{E} \qquad \mathbf{R}(t) = \mathbf{r} - \mathbf{r}_0(t) = R(t)\hat{\mathbf{n}}(t) \end{split}$$



- ullet Contiene termini che hanno la dipendenza da 1/r corretta
- Per studiare la radiazione pertanto occorre
 - Studiare la soluzione per i campi a grande distanza dalla sorgente
 - ullet Trascurare i termini che vanno a zero all'infinito più velocemente di 1/r
 - Questi termini si annullano per grandi distanze
 - In particolare diventa nullo il loro flusso di energia attraverso una superficie

- Consideriamo un sistema composto da due piccole sfere collegate da un cavo collegato ad un generatore di corrente. Il sistema è orientato lungo l'asse z
 - ullet Al tempo t le due sfere hanno carica

Al tempo
$$t$$
 le due sfere hanno carica $\pm q(t) = \pm q_0 \cos \omega t$ è un dipolo $\mathbf{p}(t) = p_0 \hat{\mathbf{e}}_z \cos \omega t$ l generatore fornisce pertanto una corrente $I = \frac{dq}{dt} = -q_0 \omega \sin \omega t$ $Id\mathbf{l} \equiv I\hat{\mathbf{e}}_z dz$.

• Il generatore fornisce pertanto una corrente

$$I = rac{dq}{dt} = -q_0 \omega \sin \omega t \qquad Id\mathbf{l} \equiv I \hat{\mathbf{e}}_z dz.$$



• Calcoliamo il potenziale vettore A ritardato dovuto alle due cariche (v. 451)
$$\mathbf{A}(\mathbf{r},t) = \frac{\mu_0}{4\pi} \int_V \frac{\mathbf{J}(\mathbf{r}',t_r)}{|\mathbf{r}-\mathbf{r}'|} dV' \qquad t_r = t - \frac{|\mathbf{r}-\mathbf{r}'|}{c}$$

$$= \frac{\mu_0}{4\pi} \int_{-\frac{d}{2}}^{+\frac{d}{2}} \frac{dz'}{|\mathbf{r}-\mathbf{r}'|} \int_S \mathbf{J}(\mathbf{r}',t_r) da'$$

$$\mathbf{A}(\mathbf{r},t) = \frac{\mu_0}{4\pi} \int_{-\frac{d}{2}}^{+\frac{d}{2}} \frac{I(t_r)\hat{\mathbf{e}}_z dz'}{|\mathbf{r} - z'\hat{\mathbf{e}}_z|} \qquad \mathbf{r} - \mathbf{r}' = \mathbf{r} - z'\hat{\mathbf{e}}_z$$

$$x' + \frac{d}{2}$$

$$x' - \frac{d}{2}$$

$$dV' = dz'da'$$

$$\mathbf{r} - \mathbf{r}' = \mathbf{r} - z' \hat{\mathbf{e}}_z$$

$$\mathbf{A}(\mathbf{r},t) = rac{\mu_0}{4\pi} \int_{-rac{d}{2}}^{+rac{d}{2}} rac{I(t_r)\hat{\mathbf{e}}_z dz'}{\left|\mathbf{r} - z'\hat{\mathbf{e}}_z
ight|}$$

- Applichiamo le approssimazioni
 - ullet La dimensione del dipolo molto minore della distanza $|z'| < d \ll r$ appr. 1
 - ullet Le varie approssimazioni di $|{f r}-{f r}'|$ sono

$$\left|\mathbf{r} - z'\hat{\mathbf{e}}_z\right| = r\sqrt{1 + \frac{z'^2}{r^2} - 2\frac{z'}{r}\cos\theta} \approx r(1 - \frac{z'}{r}\cos\theta) \approx \mathbf{r} \qquad \mathbf{A}(\mathbf{r}, t) = \frac{\mu_0}{4\pi\mathbf{r}} \int_{-\frac{d}{z}}^{+\frac{d}{2}} I(t_r)\hat{\mathbf{e}}_z dz'$$

$$\mathbf{A}(\mathbf{r},t) = \frac{\mu_0}{4\pi r} \int_{-\frac{d}{2}}^{+\frac{d}{2}} I(t_r) \hat{\mathbf{e}}_z dz'$$

• La corrente del dipolo è (vedi diapositiva 482)

$$I(t_r) = -q_0 \omega \sin \omega (t - \left| \mathbf{r} - \mathbf{r}' \right| / c)$$

$$\frac{\left|\mathbf{r}-\mathbf{r}'\right|}{c}pprox rac{r}{c}-rac{z'\cos heta}{c}$$

ullet Il termine $z' {\cos heta / c}$ è molto piccolo e si può fare uno sviluppo in serie di $\sin()$

$$\text{appr. 2} \quad I(t_{\rm r}) \approx -q_0 \omega \big[\sin \omega (t-r\ /\ c) + (z'\omega \cos \theta\ /\ c)\cos \omega (t-r\ /\ c)\big]$$

lacksquare Assumiamo che $|z'| {<} d$ sia anche molto minore della lunghezza d'onda λ

$$\lambda = \frac{2\pi c}{\omega} \qquad d \ll \frac{2\pi c}{\omega} \qquad \frac{\omega d}{c} \ll 2\pi \qquad \qquad \frac{\omega z'}{c} \sim \frac{\omega d}{c} \ll 2\pi \qquad \text{è trascurabile}$$

• La corrente approssimata è

$$I(t_r) \approx -q_0 \omega \sin \omega (t - r / c)$$



$$I(t_r) \approx -q_0 \omega \sin \omega (t - r / c)$$

- ullet L'approssimazione fatta ($\omega z'/c$ trascurabile) significa che la velocità della carica $(\sim z'\omega)$ è trascurabile rispetto a c (approssimazione non relativistica)
 - Equivale a dire che i ritardi nella corrente non sono importanti
- La corrente si può portare fuori dall'integrale

$$\mathbf{A}(\mathbf{r},t) = -\frac{\mu_0 \omega q_0}{4\pi r} \hat{\mathbf{e}}_z \sin \omega (t - r / c) \int_{-\frac{d}{2}}^{+\frac{u}{2}} dz' \qquad \mathbf{A}(\mathbf{r},t) = -\frac{\mu_0 \omega q_0 d}{4\pi r} \hat{\mathbf{e}}_z \sin \omega (t - r / c)$$

- Calcoliamo il potenziale scalare
 - ullet Per il potenziale scalare le approssimazioni fatte per ${f A}$ sono grossolane
 - Vedi Feynman Lectures On Physics § 21.4 (pag. 21-8)

(usiamo V invece di ϕ per evitare confusione)

• Si può utilizzare l'equazione del gauge di Lorenz

$$\frac{1}{c^2} \frac{\partial V}{\partial t} + \nabla \cdot \mathbf{A} = 0 \qquad \qquad \nabla \cdot \mathbf{A} = -\frac{1}{c^2} \frac{\partial V}{\partial t}$$



$$\nabla \cdot \mathbf{A} = -\frac{1}{c^2} \frac{\partial V}{\partial t}$$

• Calcoliamo la divergenza di A

$$\nabla \cdot \mathbf{A} = \frac{\partial A_z}{\partial z} = -\frac{\mu_0 \omega q_0 d}{4\pi} \frac{\partial}{\partial z} \left[\frac{1}{r} \sin \omega (t - r / c) \right]$$
$$= -\frac{\mu_0 \omega q_0 d}{4\pi} \left[-\frac{2z}{r^3} \sin(\omega t - r / c) + \frac{\omega}{r} \frac{z}{rc} \cos \omega (t - r / c) \right]$$

$$\nabla \cdot \mathbf{A} = -\frac{\mu_0 \omega q_0 d}{4\pi} \left[-\frac{1}{r^2} \frac{2z}{r} \sin(\omega t - r / c) + \frac{\omega}{rc} \frac{z}{r} \cos \omega (t - r / c) \right] \left[\frac{z}{r} = \cos \theta \right]$$

ullet Trascuriamo $1/r^2$ rispetto a ω/rc approssimazione 3 - $r\gg\lambda$

$$\frac{\partial A_z}{\partial z} \approx -\frac{\mu_0 \omega q_0 d}{4\pi} \frac{\omega z}{r^2 c} \cos \omega (t - r / c) = -\frac{\mu_0 \omega q_0 d}{4\pi} \frac{\omega \cos \theta}{r c} \cos \omega (t - r / c)$$

Riepilogando

$$\mathbf{\nabla \cdot A} = -\frac{\mu_0 \omega q_0 d}{4\pi} \frac{\omega \cos \theta}{rc} \cos \omega (t - r / c) \qquad \mathbf{\nabla \cdot A} = -\frac{1}{c^2} \frac{\partial V}{\partial t}$$

Possiamo calcolare il potenziale scalare

$$V(\mathbf{r},t) = \int \frac{\partial V}{\partial t} dt = c^2 \int \frac{\mu_0 \omega q_0 d}{4\pi} \frac{\omega \cos \theta}{rc} \cos \omega (t - r / c) dt$$

$$V(\mathbf{r},t) = \frac{\mu_0 c \omega q_0 d}{4\pi} \frac{\cos \theta}{r} \sin \omega (t - r / c)$$

Abbiamo posto uguale a zero la costante di integrazione

- In previsione della derivazione dei campi ${\bf E}$ e ${\bf B}$ esprimiamo ${\bf A}$ in coordinate sferiche
 - Ricordiamo che

$$\hat{\mathbf{e}}_z = \hat{\mathbf{e}}_r \cos \theta - \hat{\mathbf{e}}_\theta \sin \theta$$

$$\hat{\mathbf{e}}_{r} = \sin \theta \cos \phi \hat{\mathbf{e}}_{x} + \sin \theta \sin \phi \hat{\mathbf{e}}_{y} + \cos \theta \hat{\mathbf{e}}_{z}
\hat{\mathbf{e}}_{\theta} = \cos \theta \cos \phi \hat{\mathbf{e}}_{x} + \cos \theta \sin \phi \hat{\mathbf{e}}_{y} - \sin \theta \hat{\mathbf{e}}_{z}
\hat{\mathbf{e}}_{\phi} = -\sin \phi \hat{\mathbf{e}}_{x} + \cos \phi \hat{\mathbf{e}}_{z}$$

ullet I potenziali sono pertanto $(p_0=q_0d)$

$$V(r,\theta,t) = -\frac{\mu_0 c p_0 \omega \cos \theta}{4\pi r} \sin \omega \left(t - \frac{r}{c}\right)$$

$$\mathbf{A}(r,\theta,t) = -\frac{\mu_0 p_0 \omega}{4\pi r} (\hat{\mathbf{e}}_r \cos \theta - \hat{\mathbf{e}}_\theta \sin \theta) \sin \omega (t - r / c)$$

• Calcoliamo il gradiente di V $\nabla V = \hat{\mathbf{e}}_r \frac{\partial V}{\partial r} + \hat{\mathbf{e}}_\theta \frac{1}{r} \frac{\partial V}{\partial \theta} + \hat{\mathbf{e}}_\phi \frac{1}{r \sin \theta} \frac{\partial V}{\partial \phi}$

$$=-\frac{\mu_{0}cp_{0}\omega}{4\pi}\bigg\{\hat{\mathbf{e}}_{r}\cos\theta\bigg[-\frac{1}{r^{2}}\sin\omega\bigg(t-r\:/\:c\bigg)-\frac{\omega}{rc}\cos\omega\big(t-r\:/\:c\bigg)\bigg]-\hat{\mathbf{e}}_{\theta}\frac{\sin\theta}{r^{2}}\sin\omega\bigg(t-r\:/\:c\bigg)\bigg\}$$

• Trascuriamo i termini $1/r^2$ rispetto a ω/rc (approssimazione 3)

$$\nabla V = \frac{\mu_0 p_0 \omega^2}{4\pi} \frac{\cos \theta}{r} \hat{\mathbf{e}}_r \cos \omega (t - r / c)$$

$$\nabla V = \frac{\mu_0 p_0 \omega^2}{4\pi} \frac{\cos \theta}{r} \hat{\mathbf{e}}_r \cos \omega \left(t - r / c \right)$$

• Inoltre

$$\frac{\partial}{\partial t} \mathbf{A} (r, \theta, t) = -\frac{\mu_0 p_0 \omega^2}{4\pi r} (\hat{\mathbf{e}}_r \cos \theta - \hat{\mathbf{e}}_\theta \sin \theta) \cos \omega (t - r / c)$$

ullet Otteniamo infine il campo elettrico di radiazione $oldsymbol{\mathbf{E}}_{\mathrm{rad}} = -oldsymbol{
abla} V - rac{\partial \mathbf{A}}{\partial t}$

$$=-\frac{\mu_{0}p_{0}\omega^{2}}{4\pi}\frac{\cos\theta}{r}\hat{\mathbf{e}}_{r}\cos\omega\left(t-r\ /\ c\right)+\frac{\mu_{0}p_{0}\omega^{2}}{4\pi r}\left(\hat{\mathbf{e}}_{r}\cos\theta-\hat{\mathbf{e}}_{\theta}\sin\theta\right)\cos\omega\left(t-r\ /\ c\right)$$

$$\mathbf{E}_{\mathrm{rad}}\left(r,\theta,t\right) = -\hat{\mathbf{e}}_{\theta} \frac{\mu_{0} p_{0} \omega^{2}}{4\pi} \frac{\sin \theta}{r} \cos \omega \left(t - r / c\right)$$

ullet Per il campo magnetico $\mathbf{B} = oldsymbol{
abla} imes \mathbf{A}$

$$=\frac{1}{r\sin\theta}\left[\frac{\partial\left(\sin\theta A_{\phi}\right)}{\partial\theta}-\frac{\partial A_{\theta}}{\partial\phi}\right]\hat{\mathbf{e}}_{r}+\frac{1}{r}\left[\frac{1}{\sin\theta}\frac{\partial A_{r}}{\partial\phi}-\frac{\partial\left(rA_{\phi}\right)}{\partial r}\right]\hat{\mathbf{e}}_{\theta}+\frac{1}{r}\left[\frac{\partial\left(rA_{\theta}\right)}{\partial r}-\frac{\partial A_{r}}{\partial\theta}\right]\hat{\mathbf{e}}_{\phi}$$

$$\mathbf{B}(r,\theta,t) = \frac{1}{r} \left[\frac{\partial (rA_{\theta})}{\partial r} - \frac{\partial A_{r}}{\partial \theta} \right] \hat{\mathbf{e}}_{\phi}$$

$$\mathbf{A}\left(r,\theta,t\right) = -\frac{\mu_{0}p_{0}\omega}{4\pi r}\left(\hat{\mathbf{e}}_{r}\cos\theta - \hat{\mathbf{e}}_{\theta}\sin\theta\right)\sin\omega\left(t - r / c\right)\mathbf{B}\left(r,\theta,t\right) = \frac{1}{r}\left[\frac{\partial\left(rA_{\theta}\right)}{\partial r} - \frac{\partial A_{r}}{\partial\theta}\right]\hat{\mathbf{e}}_{\phi}$$

Calcoliamo le derivate

$$\frac{1}{r}\frac{\partial \left(rA_{\theta}\right)}{\partial r} = -\frac{\mu_{0}p_{0}\omega^{2}}{4\pi c}\frac{\sin\theta}{r}\cos\omega\left(t - r / c\right) \qquad \frac{1}{r}\frac{\partial A_{r}}{\partial \theta} = \frac{\mu_{0}p_{0}\omega^{2}}{4\pi c}\frac{\sin\theta}{r^{2}}\sin\omega\left(t - r / c\right)$$

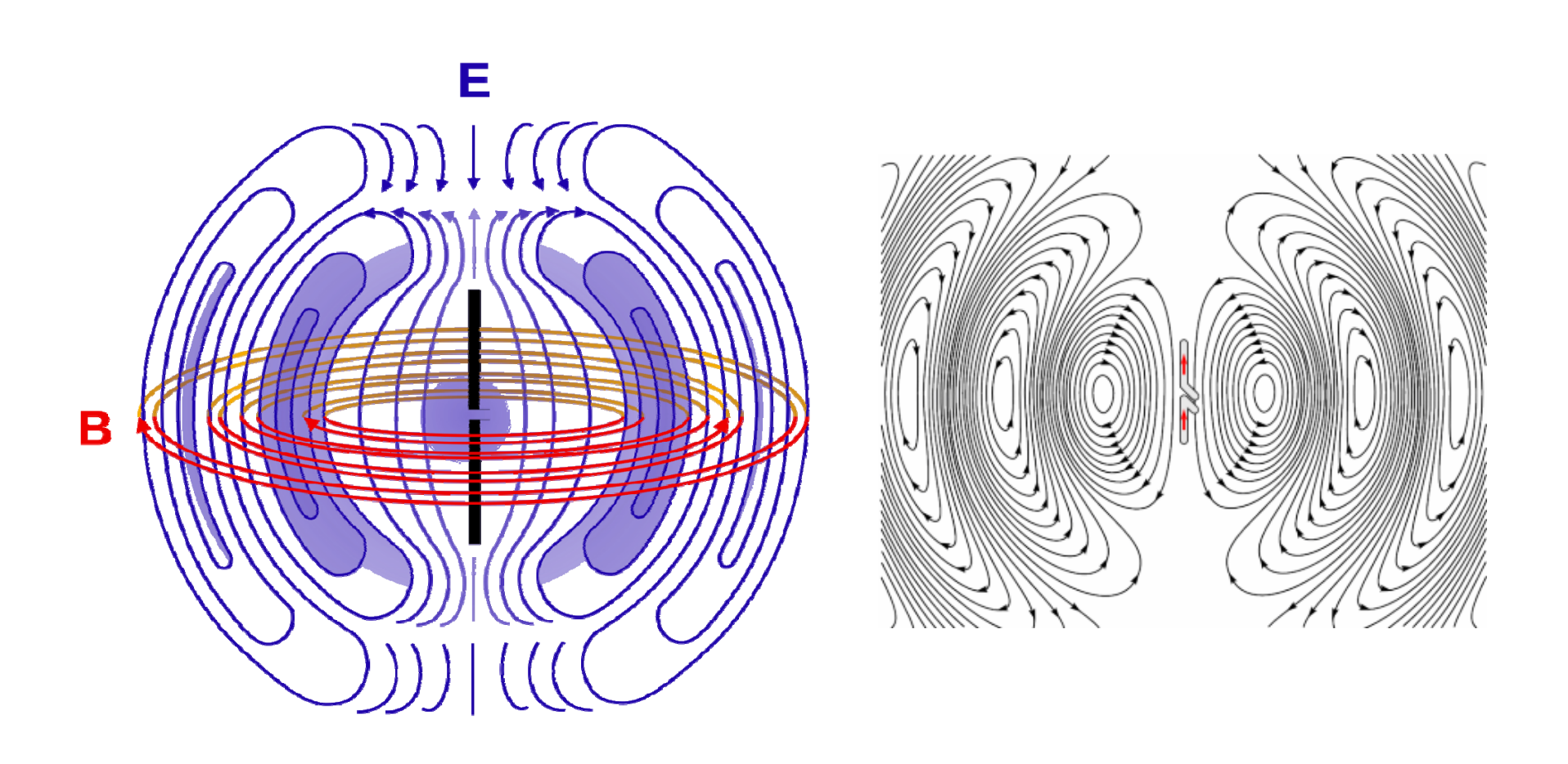
- Il secondo termine va come $1/r^2$ ed è trascurabile rispetto al primo appr. 3

Concludiamo

$$\mathbf{B}_{\mathrm{rad}}\left(r,\theta,t\right) = -\frac{\mu_{0}p_{0}\omega^{2}}{4\pi c} \frac{\sin\theta}{r} \hat{\mathbf{e}}_{\phi} \cos\omega\left(t - r / c\right)$$

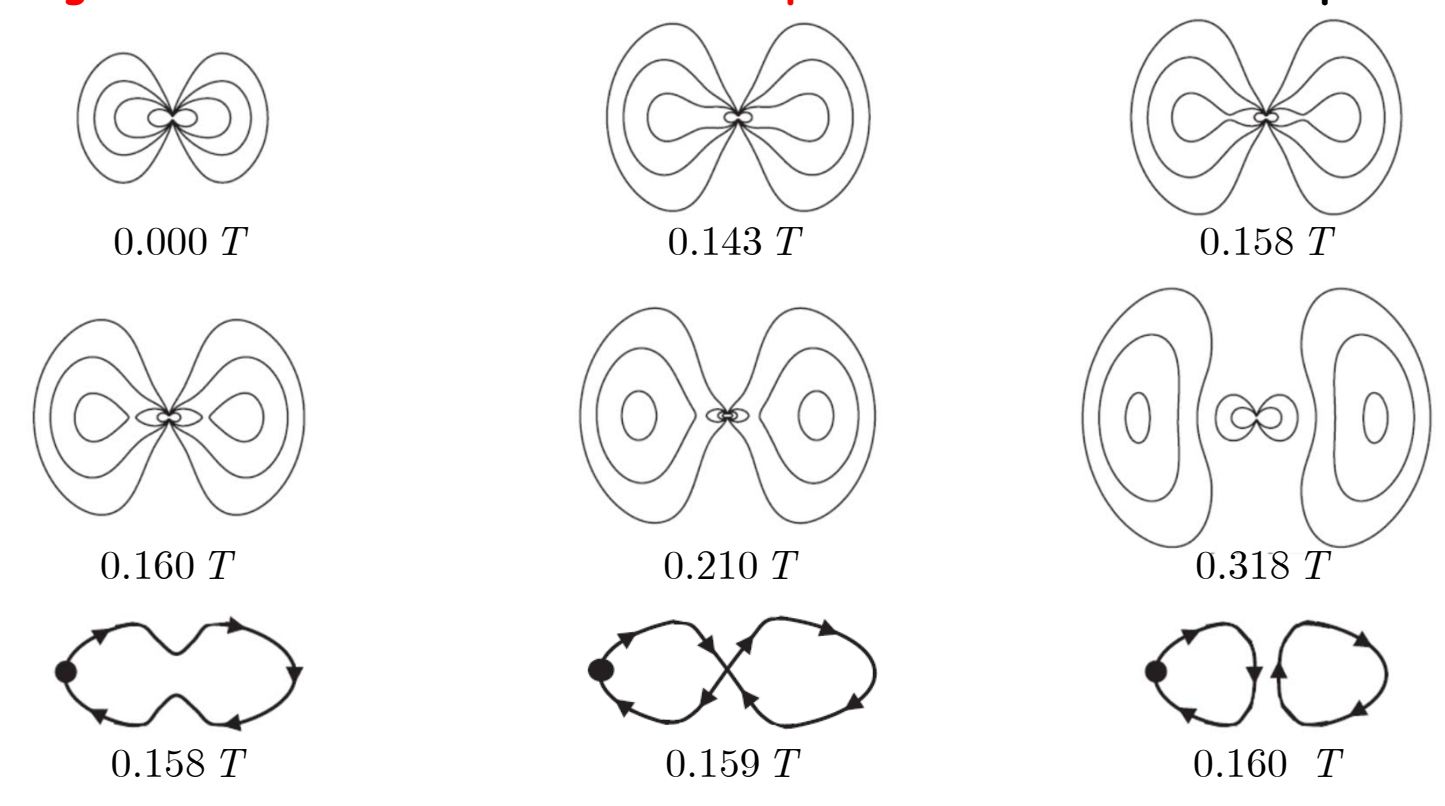
$$\mathbf{E}_{\mathrm{rad}}\left(r,\theta,t\right) = -\frac{\mu_{0}p_{0}\omega^{2}}{4\pi} \frac{\sin\theta}{r} \hat{\mathbf{e}}_{\theta} \cos\omega\left(t - r / c\right)$$

- Come previsto la soluzione è un'onda elettromagnetica che si propaga in direzione radiale $\hat{\mathbf{e}}_r$
 - \bullet I campi $E_{\rm rad}$ e $B_{\rm rad}$ sono perpendicolari alla direzione di propagazione
 - ullet Inoltre sono perpendicolari fra di loro e $E_{
 m rad}/B_{
 m rad}=c$
 - Osserviamo che non è un'onda piana bensì un'onda sferica



La nascita della radiazione

- Uno studio accurato[†] dei campi trovati permette di comprendere meglio come si forma la radiazione
 - Un campo disaccoppiato dalle sorgenti
 - Le figure mostrano l'evoluzione nel tempo di alcune linee del campo E



• †Vedi Zangwill A. – Modern Electrodynamics CUP 2012 p. 731